

طراحی روش جدید در تولید کلید رمزنگاری بیومتریکی بر اساس تصویر قطعه‌بندی شده اثر انگشت

محمد رضا روزبهانی^۱، ساناز سیدین^۲، بهرام رشیدی^۳

چکیده

هدف این مقاله استفاده از ویژگی‌های بیومتریکی اثر انگشت برای دستیابی به کلیدهای رمزنگاری تصادفی می‌باشد. پیچیدگی الگوریتم تولید کلید، تعداد بیت بالا و تصادفی بودن سه فاکتور مهم برای کلیدهای رمزنگاری قوی می‌باشند. در روش پیشنهادی، ابتدا ویژگی‌های بیومتریکی یعنی نقاط مینوشیا را با پردازش تصویر اثر انگشت استخراج می‌کنیم. سپس برای افزایش پیچیدگی روش تولید کلید و امنیت کلید تولیدی، هر تصویر را به ۴۴ قطعه تقسیم می‌کنیم تا با محاسبه فاصله اقلیدوسی و زاویه بین پیکسل‌های مرکزی هر ۴۴ قطعه با کل مینوشیاهای تصویر بتوانیم داده‌های تصادفی را افزایش دهیم. جهت افزایش بیشتر حالت تصادفی کلید، یک الگوریتم سه-گامه پیشنهاد می‌کنیم که شامل قرار دادن اعداد مربوط به زاویه و فاصله بصورت زوج و فرد در کنار یکدیگر، دو شکل جابجایی و جایگشت بیت‌ها و اعمال توزیع یکنواخت روی داده‌ها برای تولید کلید نهایی می‌باشد. به علت بالا بودن تعداد بیت کلید، می‌توان با استخراج زیر کلیدهای ۱۲۸، ۲۵۶ و ۵۱۲ بیتی از ماتریس کلید مذکور در رمزنگاری از آنها استفاده نمود. آنالیزهای آماری انجام شده همچون مجموعه تست‌های استاندارد NIST، تصادفی بودن و امنیت بالای کلید نهایی ۶۳۷۵۱ بیتی را اثبات می‌کند، و نشان دهنده عملکرد بهتر روش پیشنهادی در مقایسه با کارهای گذشته می‌باشد که تنها از فاصله یا زاویه بین نقاط مینوشیا برای تولید کلید رمزنگاری تصادفی با طول بیت بسیار کمتر استفاده کرده‌اند. الگوریتم پیشنهادی، با توجه به ۱۵ تست NIST، نسبت به کارهای جدید گذشته تا ۲۰٪ از نظر تصادفی بودن کلید تولید شده بهبود دارد.

کلید واژه‌ها

قطعه‌بندی تصویر اثر انگشت، کلید رمزنگاری تصادفی، مینوشیا، توزیع یکنواخت، فاصله اقلیدوسی، جایگشت.

۱- مقدمه

با توجه به پیشرفت سریع و گسترده نقل و انتقال داده‌ها و سیگنال‌های دیجیتالی در بسترهای مخابراتی، برقراری امنیت برای آنها بسیار ضروری می‌باشد. یکی از بهترین و مطمئن‌ترین روش‌ها

برای حفظ امنیت داده‌های ارسالی استفاده از سیستم‌های رمزنگاری می‌باشد. کلیدهای رمزنگاری هسته اصلی این سیستم‌ها هستند. پیچیدگی کلید یکی از جنبه‌های مهم برای افزایش پیچیدگی الگوریتم رمزنگاری است که می‌تواند موجب بهبود عملکرد سیستم طراحی شده و حفاظت در برابر حمله‌های مولد اعداد تصادفی^۱، متن اصلی^۲ و متن آشکار^۳ [1] شود. کلیدهای مورد استفاده در رمزنگاری باید از لحاظ تعداد بیت، طولانی و کاملاً تصادفی باشند و از الگوی خاصی پیروی نکنند تا قابل کشف نباشند. تولید کلید رمزنگاری به چهار روش کلی انجام می‌شود. ۱- کلید رمزنگاری

این مقاله در شهریورماه ۱۴۰۱ دریافت، در آبان‌ماه بازنگری و سپس پذیرفته شد.

^۱ دانشجوی کارشناسی ارشد مهندسی برق، دانشگاه صنعتی امیرکبیر، تهران، ایران
رایانامه: rubahani@aut.ac.ir

^۲ دانشکده مهندسی برق، دانشگاه صنعتی امیرکبیر، تهران، ایران

رایانامه: sseyedin@aut.ac.ir

^۳ دانشکده فنی و مهندسی، گروه مهندسی برق، دانشگاه آیت‌الله بروجردی (ره)، بروجرد، ایران

رایانامه: b.rashidi@abru.ac.ir

نویسنده مسئول: ساناز سیدین

Random Number Generator attack¹

Cipher text-only attack²

Known-plaintext attack³

که در این کار می‌توان کلیدهای تولید شده را به علت تعداد بیت و امنیت بالا در انواع تکنیک‌های رمزنگاری مورد استفاده قرار داد. در الگوریتم پیشنهادی تولید کلید رمزنگاری، ابتدا ویژگی‌های بیومتریکی و منحصر به فرد از اثر انگشت که شامل نقاط مینوشیا هستند استخراج می‌شوند. سپس برای افزایش پیچیدگی الگوریتم و بالابردن امنیت کلید تولید شده، هر تصویر اثر انگشت را به ۴۴ قطعه مساوی تقسیم می‌کنیم و پس از شناسایی نقاط مرکزی هر قطعه، مختصات پیکسل‌های مرکزی هر قطعه در ماتریس ذخیره می‌شود. آنگاه فاصله اقلیدوسی و زاویه بین پیکسل‌های مرکزی هر ۴۴ قطعه با کل مینوشیاهای تصویر را محاسبه می‌کنیم. لازم به ذکر است که در روش پیشنهادی، برخلاف اکثر روش‌های قبلی که از فاصله بین خود نقاط مینوشیا استفاده می‌کردند، فاصله بین پیکسل‌های مرکزی هر قطعه با کل مینوشیاها را بدست می‌آوریم. به این ترتیب، داده‌های تصادفی افزایش خواهند یافت که یکی دیگر از مزایای روش پیشنهادی این مقاله می‌باشد، و تا جایی که اطلاع داریم این شیوه تولید کلید تصادفی با قطعه‌بندی تصویر و محاسبه فاصله و زاویه بین مراکز قطعات با نقاط مینوشیا تاکنون پیشنهاد نشده است. سپس یک الگوریتم ۳ گامه برای افزایش تصادفی کردن کلید نهایی پیشنهاد می‌کنیم. در گام اول، با قرار دادن اعداد مربوط به زاویه و فاصله بصورت زوج و فرد در کنار یکدیگر آنها را ذخیره می‌کنیم. در گام بعدی پس از نرمالیزاسیون و تولید داده‌های ۸-بیتی طی عملیات جابجایی، ۴ بیت پر ارزش با ۴ بیت کم ارزش جابجا می‌شوند و هر بیت نیز بصورت دو به دو با بیت بعدی جابجا می‌شود. در گام آخر برای دستیابی به کلید نامنظم و تصادفی، یک توزیع یکنواخت روی داده‌های نهایی اعمال می‌کنیم تا کلید نهایی به دست آید. در نتیجه برخلاف برخی روش‌ها که از LFSR و S-box جهت تصادفی کردن کلید استفاده می‌کردند، عملیات پیشنهادی تولید کلید در این مقاله ساختار بسیار ساده‌ای دارد که از دیگر مزایای مهم آن به شمار می‌رود. به علت بالا بودن تعداد بیت کلید، می‌توان از ماتریس کلید مذکور، زیر کلیدهای ۱۲۸، ۲۵۶ و ۵۱۲ بیتی استخراج کرد و در رمزنگاری از آنها استفاده نمود. در نتیجه با روش پیشنهادی، کلید مورد استفاده در رمزنگاری برای هر فرد نیز تصادفی خواهد بود که یکی دیگر از مزایای مهم رویکرد پیشنهادی می‌باشد. به عبارت دیگر، به دلیل ثابت بودن اثر انگشت هر فرد و در نتیجه ویژگی‌های استخراج شده یعنی زاویه و فاصله نقاط مینوشیا با مراکز قطعه‌های هر تصویر، کل کلید تولید شده در الگوریتم پیشنهادی که بطور متوسط ۶۳۷۵۱ بیت می‌باشد ثابت خواهد بود. اما نکته مهم این است که به علت تعداد بسیار زیاد زیرکلیدهای متفاوت تصادفی ۱۲۸، ۲۵۶ یا ۵۱۲ بیتی که می‌توان از این کلید بزرگ در هر بار الگوریتم رمزنگاری نهایی استخراج کرد، کلید نهایی حتی برای هر فرد نیز تصادفی خواهد بود و در نتیجه قابل کشف نمی‌باشد. عملکرد بالای الگوریتم پیشنهادی از نظر تصادفی بودن، تعداد بیت

مبتنی بر تئوری آشوب، ۲- کلید رمزنگاری مبتنی بر الگوریتم‌های تکاملی، ۳- کلید رمزنگاری مبتنی بر خصوصیات بیومتریکی، ۴- کلید رمزنگاری مبتنی بر مولدهای اعداد تصادفی [2,3]. سیستم‌های آشوب به دلیل حساسیت به شرایط اولیه و شباهت به رفتارهای تصادفی در بسیاری از زمینه‌ها مانند فشرده‌سازی، رمزنگاری و مدولاسیون مورد استفاده قرار می‌گیرند. امکان بازگشت از نوسانات آشفته و بی‌نظم به حالت اولیه، باعث شده از روش‌های آشوب به وفور در رمزگذاری داده‌ها، تولید کلید و رمزگشایی استفاده شود. یکی از روش‌های جدید تولید کلید، استفاده از مدل سازی فرآیندهای تکاملی ساده شده می‌باشد که به عنوان یک کلاس از الگوریتم‌های بهینه‌سازی در نظر گرفته می‌شود. دلیل معرفی این روش‌ها این است که تولید کلید رمزنگاری به روش‌های سنتی به علت پیچیدگی الگوریتم، زمان و توان مصرفی زیادی را می‌طلبد. کلید رمزنگاری مبتنی بر خصوصیات بیومتریکی، روشی است که از اطلاعات بیومتریکی جهت تولید کلیدهای رمزنگاری برای محافظت از امنیت داده‌ها استفاده می‌کند. سیستم‌های رمزنگاری بیومتریکی یک زمینه تحقیقاتی در حوزه رمزنگاری می‌باشند که در آنها از بیومتریکی یک فرد مانند صدا، چهره، اثر انگشت و عنبیه چشم برای تولید کلیدهای رمزنگاری استفاده می‌شود. در روش کلید رمزنگاری مبتنی بر مولدهای اعداد تصادفی، کلید رمزنگاری از مولدهای اعداد تصادفی مانند شیفت رجیستر بازخورد خطی^۱ و شمارنده‌ها بدست می‌آید. علاوه بر چهار روش ذکر شده، شیوه‌هایی نیز برای توزیع امن کلید رمزنگاری بین رمزگذار و رمزگشا مبتنی بر اصول فیزیک کوانتوم وجود دارد. یکی از این روشها توزیع کلید کوانتوم^۲ (QKD) و استفاده از پروتکل BB84 است. این پروتکل با استفاده از اصل عدم قطعیت در فیزیک کوانتومی، می‌تواند حضور استراق سمع کننده در طول ارتباط را آشکار کند [4].

بر اساس یک سیستم رمزنگاری قوی که شالوده‌ی اصلی آن کلید تصادفی با طول بیت زیاد می‌باشد می‌توان داده‌های دیجیتال را با امنیت بیشتری رمزگذاری کرد. در این مقاله، یک الگوریتم تولید کلید تصادفی بر اساس ویژگی‌های منحصر به فرد اثر انگشت پیشنهاد می‌کنیم. امنیت کلید تولید شده در گرو تصادفی بودن، تعداد بیت بالا و پیچیدگی الگوریتم مولد کلید می‌باشد. در این الگوریتم تلاش می‌کنیم هر سه نیاز مذکور را در نظر بگیریم و کلید مدنظر با بالاترین کیفیت از دید این معیارها را تولید کنیم. در بسیاری از تکنیک‌های رمزنگاری به کلیدهایی با طول بالای ۱۰۰۰۰ بیت نیاز است. از روش‌های موجود تولید کلید با استفاده از اثر انگشت که در [5-8] پیشنهاد شده است به علت تولید کلیدهایی با تعداد بیت محدود نمی‌توان در تکنیک‌های رمزنگاری مذکور استفاده کرد. اما یک مزیت مهم روش پیشنهادی این است

^۱ Linear Feedback Shift Register

^۲ Quantum Key Distribution

خطای تصحیح کد (ECC) برای تولید کلیدهای تصادفی بکار می‌رود.

دسته بعدی که جزو متداولترین شیوه‌های تولید کلید رمزنگاری محسوب می‌شود روشهای مبتنی بر خصوصیات بیومتریکی می‌باشد. در این دسته از اطلاعات بیومتریکی جهت تولید کلیدهای رمزنگاری برای محافظت از امنیت داده‌ها استفاده می‌شود و همین مساله مهمترین مزیت این روشها می‌باشد که در این مقاله نیز از آن بهره می‌گیریم. در [15] نویسندگان از کلیدی که از خصوصیات چهره انسان استفاده می‌کند برای رمزگذاری پیام‌های صوتی و نهم کردن آنها در داخل تصویر رنگی استفاده کرده‌اند. در [16] که جزو روشهای بیومتریکی می‌باشد، پس از بررسی کاربرد الگوریتم ژنتیک در رمزنگاری یک روش ترکیبی جدید برای رمز داده‌ها بر اساس الگوریتم ژنتیک و مولد اعداد شبه تصادفی پیشنهاد می‌شود. از ویژگی‌های چنین رویکردی می‌توان به امنیت بالا و امکانپذیری انتقال برنامه‌های چند رسانه‌ای اشاره کرد. در [17] کلیدهای امن رمزنگاری براساس تابع درهم تولید می‌شوند. رویکرد تولید کلید رمزنگاری از ویژگی‌های بیومتریکی اثر انگشت را می‌توان در کار [18] یافت که علاوه بر تولید کلید برای ذخیره کلیدهای رمزنگاری ۲۵۶ بیتی از الگوهای بیومتریکی استفاده می‌کند. در [19] ابتدا مینوشیاهای اثر انگشت استخراج می‌شود. سپس با اعمال تبدیل قابل لغو روی نقاط مینوشیا، به قالب‌های قابل لغو ۲۵۶ بیتی تبدیل می‌شوند و کلید نهایی بدست می‌آید. کلیدهای مبتنی بر اثر انگشت در بخش فرستنده و گیرنده با استفاده از استگانوگرافی مبتنی بر کلید منتقل می‌شوند و در رمزنگاری متقارن مورد استفاده قرار می‌گیرند. کلیدهای تولیدشده در این کار ۲۵۶ بیتی بوده و در حالت کلی به دلیل طول بیت کم در الگوریتم‌های رمزنگاری محدودیت استفاده دارند، زیرا امکان تصادفی بودن کلید با طول بیت کم کاهش می‌یابد. علاوه بر این هیچگونه آنالیز آماری روی کلیدها صورت نگرفته تا صحت تصادفی بودن و امنیت کلیدها را تایید کند. در کار [20] با استفاده از جهت و فاصله بین مینوشیاهای اثر انگشت‌های رمزنگاری استفاده می‌شوند. نویسندگان در کار [21] علاوه بر تولید کلید رمزنگاری، با تعیین فاصله بین مینوشیاهای، برای تضمین امنیت در طول انتقال داده از تصحیح خطای دو لایه استفاده می‌کنند. [22] یک رویکرد تولید کلید بر اساس اثر انگشت با استفاده از فواصل نسبی بین مینوشیاهای اثر انگشت کاربر برای ایجاد یک کلید بیومتریکی منحصر به فرد را پیشنهاد داده است. علاوه بر این، از یک تکنیک تصحیح خطای دو لایه برای افزایش قابلیت اطمینان سیستم در طول انتقال داده استفاده کرده است. [23] یک روش برای تولید کلید رمزنگاری بر اساس ویژگی‌های منحصر به فرد اثر انگشت و الگوریتم آستانه^۲ پیشنهاد می‌کند. در کارهای [5, 6] از ویژگی‌های منحصر به فرد و

بالا، پیچیدگی و امن بودن با معیارهایی از جمله^۱ NIST [9] بررسی می‌شود.

ساختار مقاله حاضر به این شکل است که در بخش دوم کارهای پیشین معرفی می‌شوند. روش پیشنهادی تولید کلید رمزنگاری بیومتریکی از اثر انگشت را در بخش سوم معرفی می‌کنیم. بخش چهارم حاوی نتایج آزمایشات و تحلیل نتایج روش پیشنهادی می‌باشد. سرانجام، مقاله در بخش پنجم جمع‌بندی می‌شود.

۲- کارهای پیشین

تاکنون تکنیک‌های متعددی برای تولید کلید رمزنگاری پیشنهاد شده است. روشهای تولید کلید رمزنگاری را می‌توان به ۴ دسته کلی کلید رمزنگاری مبتنی بر تئوری آشوب، کلید رمزنگاری مبتنی بر مولدهای اعداد تصادفی، کلید رمزنگاری مبتنی بر الگوریتم‌های تکاملی و کلید رمزنگاری مبتنی بر خصوصیات بیومتریکی تقسیم کرد [2,3].

در دسته کلیدهای مبتنی بر تئوری آشوب می‌توان به کارهای [10] و [11] اشاره کرد. در [10] از کلیدی مبتنی بر الگوریتم آشوب برای رمزنگاری عکس‌های پزشکی استفاده شده است. در این مقاله برای غلبه بر مشکل پایین بودن امنیت در سیستم‌های رمزنگاری مبتنی بر الگوریتم آشوب تک بعدی، که بخاطر کوچک بودن سائز کلید اتفاق می‌افتد روشی پیشنهاد شده است که طبق آن از زوج کلید آشوب لجستیکی و نقشه‌های خیمه‌ای برای رمزگذاری استفاده می‌شود. در کار [11] نویسندگان برای تولید کلید از یک نقشه بهبود یافته سینوسی بهره می‌گیرند که عملکرد بهتری را نسبت به نقشه سینوسی در تولید کلید و رمزنگاری ارائه می‌دهد. استفاده از نقشه بهبود یافته سینوسی باعث ایجاد هرج و مرج پیوسته در خروجی می‌شود که آشفتگی و تصادفی شدن کلیدها را در پی دارد.

در دسته کلیدهای مبتنی بر مولدهای اعداد تصادفی می‌توان به کارهای [12] و [13] اشاره کرد. در کار [12] برای تولید اولیه کلید رمزنگاری مولدهای اعداد تصادفی به کار گرفته می‌شوند. سپس جهت افزایش پیچیدگی و خصوصی کردن کلید تولید شده، از تابع عمومی هش و تابع درهم سازی SH-1 استفاده می‌شود. در [13] به منظور تولید کلیدهای رمزنگاری قوی از شیفت رجیستر فیدبک-دار خطی استفاده شده است که باعث کاهش سخت افزار می‌شود ولی در عوض کلیدهایی با امنیت پایین تولید می‌کند. همچنین از این کلیدها فقط می‌توان در رمزنگاری کلید متقارن استفاده کرد.

در مجموعه روشهای مبتنی بر الگوریتم‌های تکاملی می‌توان به [14] اشاره کرد. در [14] از مکانیسم بازسازی کلید فازی برای استخراج یک الگوی محافظت شده استفاده شده است. سپس

^۲ Threshold

^۱ National Institute of Standards and Technology

برخلاف پروتکل BB84 که فوتون‌ها از طریق کانال کلاسیک جابجا می‌شوند در این روش فقط از کانال کوانتومی استفاده می‌شود که در نهایت منجر به صرف زمان و نرخ خطای کوانتومی کمتری می‌شود.

نویسندگان در کار [25] با بهره‌گیری از رمز قالبی و نقشه‌های آشوبناک به رمزگذاری و رمزگشایی تصاویر می‌پردازند. رمزگذاری داده‌هایی مانند تصاویر که دارای همبستگی بالا هستند، برای رمزهای بلوکی یک چالش است. زیرا ممکن است الگوهای تصویر اصلی پس از رمزگذاری باقی بمانند. در این کار برای غلبه بر این محدودیت از رمزهای بلوکی زنجیره‌ای به همراه نقشه‌های آشوبناک استفاده کرده‌اند. همچنین رمزهای بلوکی زنجیره‌ای مذکور، با الهام از معماری Rijndael و توسط نقشه‌های آشوبناک که به عنوان منبع آنتروپی می‌باشد، به عنوان الگوریتم اصلی رمزنگاری در نظر گرفته شده‌اند. این عملیات ترکیبی و الگوریتم پیشنهاد شده موجب بهبود نتایج رمزنگاری و شاخص‌های امنیتی نسبت به الگوریتم Rijndael شده است. در کار [26] برای رمزنگاری و انتقال امن و سریع فایل‌های متنی بین دستگاه‌ها و وسایل IOT از الگوریتم رمزنگاری متقارن کوچک (NTSA) استفاده کرده‌اند. یکی از امن‌ترین الگوریتم‌ها در ارتباط با انتقال اطلاعات بین وسایل IOT الگوریتم رمزنگاری کوچک است. یکی از محدودیت‌ها و ضعف‌های این الگوریتم استفاده از کلیدهای مشابه در تمام مراحل رمزنگاری است، که موجب کاهش امنیت می‌گردد. همچنین زمان رمزگذاری و رمزگشایی داده‌های متنی توسط این الگوریتم بسیار زیاد است. الگوریتم پیشنهاد شده با تغییر کلید و ایجاد درهم ریختگی در تک تک مراحل رمزنگاری باعث بهبود امنیت آن شده است.

در این مقاله یک روش تولید کلید تصادفی برای رمزنگاری تصاویر دیجیتال اثر انگشت با دقت و امنیت بالا مبتنی بر روشهای بیومتریکی پیشنهاد شده است. از جمله نکات مهم در تولید این کلید تصادفی، افزایش طول بیت آن و پیچیدگی الگوریتم می‌باشد تا امنیت بالایی در سیستم رمزنگاری حاصل کند و در برابر حملات مقاوم باشد. در روشهای پیشین همچون [8] و [12] الگوریتم‌هایی برای تولید کلید تصادفی پیشنهاد شده‌اند، اما همچنان کلید استخراج شده مشکل طول بیت کم را دارد که موجب کاهش امنیت کلید تولید شده خواهد شد. این طول بیت کم خصوصاً در زمان رمزنگاری اثر انگشت افراد یکسان مشکل خود را نشان می‌دهد، زیرا تعداد زیرکلیدی که می‌توان با سایزهای ۱۲۸، ۲۵۶ یا ۵۱۲ بیت در رمزنگاری از آن استخراج کرد محدود می‌شود. این محدود شدن تعداد زیرکلیدها باعث می‌شود که کلید ارسالی برای هر فرد دیگر تصادفی نباشد، یا میزان تصادفی بودن کاهش یابد و در نتیجه امکان کشف کلید وجود خواهد داشت. لذا در این مقاله با هدف استفاده از رویکردی ساده که حجم محاسباتی زیادی نداشته باشد و مبتنی بر استخراج نقاط مینوشیا باشد، الگوریتمی برای ساخت کلیدهای تصادفی بیومتریکی پیشنهاد

بیومتریکی اثر انگشت به منظور تولید کلیدهای تصادفی رمزنگاری استفاده شده است. از محدودیت‌های این دو کار می‌توان به استخراج محدود داده از اثر انگشت نام برد. برای تولید کلید در [5] فاصله اقلیدوسی بین مینوشیاها همانند بسیاری از روشهای پیشین به کار رفته است. همچنین برای افزایش میزان تصادفی بودن کلیدها از S-box های ۸ بیتی در رمز قالبی AES استفاده شده است که حجم محاسبات را بالا می‌برد. سپس روی کلید تولید شده تنها یک عمل جابجایی بیتی اعمال می‌شود. کلید تولید شده با این روش همانند روش‌های دیگری که تعداد بیت پایین دارند، در رمزنگاری‌های کلید عمومی که به کلیدهایی با تعداد بیت بسیار بالا نیاز دارند، قابل استفاده نخواهد بود. در کار [6] علاوه بر فاصله از زوایای بین نقاط مینوشیا هم بهره گرفته شده است که به افزایش طول بیت کلید کمک می‌کند. همچنین برای افزایش ویژگی‌های آماری و پیچیدگی الگوریتم از S-box های ۸-بیتی به کار برده شده در رمز CLEFIA به منظور جایگزینی استفاده شده است. علاوه بر این نویسندگان، برای جابجایی از دو عدد LFSR ۱۰-بیتی نیز استفاده کرده‌اند که این امر موجب کند شدن عملیات تولید کلید و به تبع آن، کند شدن عملیات رمزنگاری می‌گردد. در [7] برای دستیابی به کلیدهای رمزنگاری از فاصله و زاویه بین مینوشیاها و جهت آنها استفاده شده است. سپس رشته بیت‌هایی با طول ۲۰۴۸ بیت استخراج می‌شوند و کلیدهای نهایی با طول ۲۵۶ بیت تولید می‌گردند. از محدودیت‌های این روش نیز می‌توان به طول بیت پایین کلیدهای تولید شده اشاره کرد. در [8] برای تولید کلید ابتدا تمام نقاطی که با احتمال بالا می‌توانند به عنوان نقاط مینوشیا شناخته شوند از تصویر اثر انگشت استخراج می‌شوند. سپس از بین همین نقاط، نقاط شبه مینوشیا نیز حذف می‌شوند تا بیومتریکی بودن کلید تولید شده حفظ شود. در ادامه فاصله اقلیدوسی بین مینوشیاها محاسبه و ذخیره می‌شود. در انتها هم اعداد به دست آمده توسط کد خاکستری به اعداد باینری ۸-بیتی تبدیل می‌شوند و تمام این اعداد باینری در کنار یکدیگر قرار می‌گیرند و رشته بیت نهایی بدست می‌آید. در این کار به علت حذف شبه مینوشیاها ممکن است تعدادی از مینوشیاها اصلی نیز حذف گردد، که این امر موجب کاهش نقاط مینوشیا، کاهش فواصل بین آنها و در نتیجه کاهش تعداد بیت‌های کلید می‌شود. همچنین میانگین تعداد بیت‌های کلید تولید شده در این روش ۱۶۸ بیت می‌باشد که به دلیل کوتاه بودن مطلوب نیست. علاوه بر این کلید رمزنگاری باید تصادفی و دارای امنیت بالا باشد که در این کار هم تصادفی بودن کلید تولید شده مورد چالش قرار نگرفته و تایید نشده است.

همچنین از روشهای توزیع کلید کوانتومی نیز برای افزایش امنیت در توزیع کلیدهای رمزنگاری بین فرستنده و گیرنده استفاده شده است [24]. در [24] از پروتکل اصلاح شده و بهبود یافته BB84 بهره می‌گیرند. در این روش جدید توزیع کلید، رشته بیت‌های متوالی که کلید را تشکیل می‌دهند با استفاده از Symbol Legender به فوتون‌های قطبیده تبدیل می‌شوند. سپس

مینوشیاها را پیدا می‌کردند و در نتیجه به دلیل ثابت بودن مینوشیاها به محدودیت می‌رسیدند، فاصله اقلیدوسی و زاویه بین پیکسل‌های



شکل (۱): نمای کلی از مراحل روش پیشنهادی برای تولید کلید تصادفی. اعداد داخل پرانتز در هر بلوک شماره روابط مرتبط می‌باشند.

می‌کنیم که مشابه روشهای قبلی مبتنی بر استخراج نقاط مینوشیا باشد، ولی برای افزایش سایز کلید پیشنهاد می‌کنیم که برخلاف روشهای قبلی، تصویر قطعه‌بندی شود و به جای فاصله/زاویه بین نقاط مینوشیا، فاصله و زاویه بین کل نقاط مینوشیا با مراکز قطعات تصویر محاسبه شود. به این ترتیب سایز کلید به میزان قابل توجهی افزایش می‌یابد و با الگوریتم‌های ساده جایگشت می‌توان کلید تصادفی نهایی را بدون افزایش حجم محاسباتی پیدا کرد.

۳- روش پیشنهادی تولید کلید رمزنگاری بیومتریک از اثر انگشت

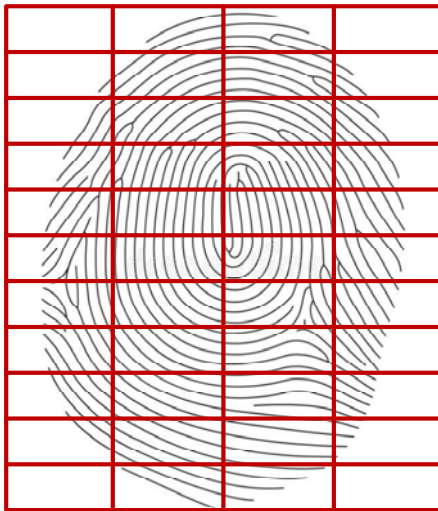
هدف ما از این مقاله، استفاده از ویژگی‌های بیومتریک اثر انگشت در راستای تولید کلید تصادفی با طول بیت زیاد می‌باشد تا بعداً بتوان از آن در سیستم رمزنگاری با امنیت بالا استفاده کرد. در این رویکرد ما از مختصات پیکسل‌های مرکزی قطعات تصویر و مینوشیا بهره می‌گیریم. نمای کلی از مراحل روش پیشنهادی در شکل (۱) بصورت شماتیک نمایش داده شده است. در این مقاله ما از روش ارائه شده در کار [27] برای بهبود تصویر و استخراج مینوشیا استفاده می‌کنیم. فرایند کلی به این صورت است که ابتدا پیش پردازش روی تصویر به منظور حذف نویز و تغییرات ناشی از فشار انگشت روی سنسور صورت می‌گیرد. سپس حذف پیکسل‌های اضافی از تصویر موجب بهبود روشنایی و کنتراست می‌شود. همچنین برای تشخیص و استخراج بهتر نقاط مینوشیا، از باینری کردن و نازک‌سازی تصویر استفاده می‌شود. پس از استخراج نقاط مینوشیا از تصویر، مختصات x و y آنها بصورت جداگانه در دو ماتریس F_x و F_y ذخیره می‌شوند. در ادامه برای افزایش تعداد بیت کلید نهایی و در نتیجه تصادفی بودن آن، تصویر اصلی را به ۴۴ قطعه مساوی تقسیم می‌کنیم. سپس پیکسل‌های مرکزی هر قطعه را شناسایی و استخراج می‌کنیم و مختصات x و y آنها را در دو ماتریس G_x و G_y بصورت جداگانه ذخیره می‌نماییم. این قطعه‌بندی تصویر در عین سادگی الگوریتم، به دلیل افزایش زیاد بیت‌های تولیدی نهایی کلید یکی از پیشنهادات بسیار موثر پژوهش حاضر است که در کارهای پیشین تا آنجا که اطلاع داریم انجام نشده است. در ادامه به محاسبه فاصله اقلیدوسی بین نقاط مینوشیا و نقاط مرکزی هر قطعه و نرمال‌سازی آنها برای ایجاد اعداد ۸ بیتی پرداخته می‌شود و نتایج حاصل در یک ماتریس ذخیره می‌شود. بعد از این مرحله زاویه بین نقاط مینوشیا و نقاط مرکزی هر قطعه محاسبه شده و مقدار به دست آمده با انجام محاسباتی که در ادامه اشاره خواهد شد در بازه $(0, 360)$ درجه و در چهار ربع دستگاه مختصاتی قرار می‌گیرد. آنگاه نرمال‌سازی برای ایجاد اعداد ۸ بیتی روی زاویه‌های به دست آمده، صورت می‌گیرد. به عبارت دیگر، در این مقاله جهت افزایش داده‌های تصادفی، برخلاف روش‌های پیشین که فاصله یا زاویه بین

۲-۳- فاصله اقلیدوسی بین مینوشیا و پیکسل‌های

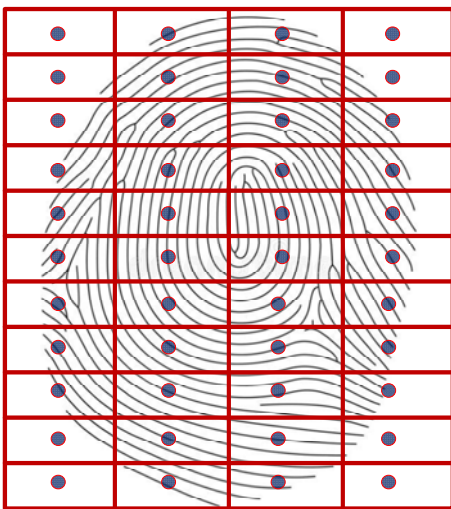
مرکزی

در ادامه فاصله اقلیدوسی بین مینوشیاها و پیکسل‌های مرکزی قطعات محاسبه و در یک ماتریس ذخیره می‌شود. فاصله اقلیدوسی دو نقطه فرضی براساس بردارهای G_x , G_y با رابطه (۳) قابل محاسبه می‌باشد:

$$D_p = \sqrt{(G_x(i) - G_y(j))^2 + (G_y(i) - G_x(j))^2} \quad (3)$$



(a)



(b)

شکل (۲): (a): تقسیم کردن تصویر به ۴۴ قطعه مساوی (b): پیداکردن پیکسل‌های مرکزی هر ۴۴ قطعه.

تعداد فاصله‌های اقلیدوسی برابر حاصلضرب تعداد مینوشیاها در تعداد پیکسل‌های مرکزی قطعات خواهد بود که در این کار، چون تصویر به ۴۴ قطعه تقسیم شده است تعداد داده‌های مستخرج از فاصله اقلیدوسی از رابطه (۴) به دست می‌آید:

$$N_{Dp} = 44 \times \text{تعداد مینوشیاها} \quad (4)$$

مرکزی هر ۴۴ قطعه با کل مینوشیاهای تصویر را محاسبه می‌کنیم. در مرحله بعد داده‌های G و F بصورت زوج و فرد با یکدیگر ترکیب می‌شوند و ماتریس کلی کلید را می‌سازند. در مرحله آخر نیز به منظور بهبود کیفیت کلید به دست آمده، داده‌های ماتریس نهایی با استفاده از توزیع یکنواخت جابجا می‌شود و کلید نهایی با قابلیت اطمینان بالا بصورت تصادفی به دست می‌آید.

۱-۳- قطعه‌بندی تصویر

در این بخش از کار، به منظور دستیابی به داده‌های بیشتر، هر تصویر مطابق شکل (۲) به ۴۴ قطعه (بر حسب طول و عرض تصویر اثر انگشت) تقسیم می‌کنیم. آنگاه مختصات x و y پیکسل‌های مرکزی هر قطعه در بردارهای جداگانه ذخیره می‌شود. فرض کنید مجموعه نقاط پیکسل‌های مرکزی با G نمایش داده شود در اینصورت مختصات پیکسل مرکزی یک قطعه را نشان می‌دهد و $n=44$ خواهد بود.

$$G = \{g_1(x_1, y_1), g_2(x_2, y_2), g_3(x_3, y_3), \dots, g_n(x_n, y_n)\} \quad (1)$$

در ادامه مختصات پیکسل‌های مرکزی هر قطعه را در دو بردار متفاوت (G_x, G_y) ذخیره می‌کنیم، که بردار G_x و G_y به ترتیب شامل تمام مقادیر مختصات x و y پیکسل‌های مرکزی هر قطعه می‌باشند:

$$G_x = [x_1, x_2, x_3, \dots, x_n] \quad (2)$$

$$G_y = [y_1, y_2, y_3, \dots, y_n]$$

در این کار از پایگاه داده اثر انگشت DB3_B FVC2002 ، استفاده شده است. ابعاد هر تصویر در DB1_B برابر 388x374 و در DB3_B بصورت 300x300 می‌باشد [28]. برای یکپارچه کردن و به کارگیری تمام پایگاه‌های داده در روش پیشنهادی، ابعاد تصاویر پایگاه داده DB3-B با تکرار پیکسل‌های انتهایی برابر 388 x 374 قرار می‌گیرد. برای تقسیم تصویر به قطعات مساوی و دستیابی به حد کافی از داده‌ها، هر تصویر به ۴۴ قطعه مساوی تقسیم می‌شود. عدد ۴۴ با آزمایش تجربی و با توجه به ابعاد تصاویر موجود در پایگاه داده DB1_B FVC2002 و DB3_B FVC2002 انتخاب شده است.

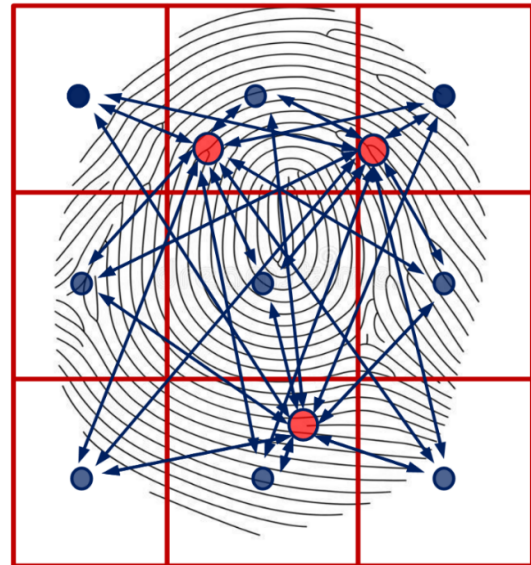
این قطعه‌بندی منجر به تولید کلیدهایی با طول زیاد می‌شود. این کلیدها قابل استفاده در الگوریتم‌های رمزنگاری کلید عمومی و همچنین الگوریتم‌های کلید خصوصی می‌باشند. زیرا در رمزنگاری کلید عمومی به کلیدهایی با تعداد بیت بالا و در رمزنگاری کلید خصوصی به کلیدهایی با تعداد بیت کمتر نیاز است.

که r طول خط AB می باشد. در اینصورت θ بصورت رابطه (۶) محاسبه می شود.

$$\tan \theta = \frac{x_1 - x_0}{y_1 - y_0} \rightarrow \theta = \tan^{-1} \frac{x_1 - x_0}{y_1 - y_0} \quad (۶)$$

زاویه به دست آمده بین این دو نقطه با توجه به قوانین تانژانت در محدوده 90 و 90- درجه می باشد. برای اینکه زاویه به دست آمده در محدوده (0, 360) درجه قرار گیرد باید چندین شرط هنگام محاسبه زاویه در نظر گرفته شود که در شکل (۵) شروط چهارگانه و روابط مربوط به محاسبه زاویه برای چهار ربع آورده شده است. پس از قرار دادن زاویه ها در محدوده (0, 360) آنها را در ماتریس جداگانه ذخیره می کنیم. در شکل (۶) بصورت نمادین تصویر به 9 قسمت مساوی تقسیم شده است و زاویه بین یک مینوشیای فرضی و نقاط مرکزی قطعات برای درک بهتر آورده شده است. در تصاویر اثر انگشت، محدود بودن نقاط مینوشیا باعث کاهش میزان تصادفی بودن و امنیت کلید تولید شده می شود. استفاده از فاصله اقلیدوسی و زوایای بین پیکسل های مرکزی قطعات و نقاط مینوشیا علاوه بر افزایش پیچیدگی و تصادفی بودن، باعث دستیابی به داده های بسیار زیاد می شود. برای مثال اگر یک تصویر دارای 90 نقطه مینوشیا باشد، پس از اندازه گیری فاصله اقلیدوسی و زاویه بین پیکسل های مرکزی هر قطعه و نقاط مینوشیا، اعداد به دست آمده را تبدیل به اعداد باینری 8-بیتی می کنیم و به یک داده باینری با طول 63360 بیت دست پیدا می کنیم.

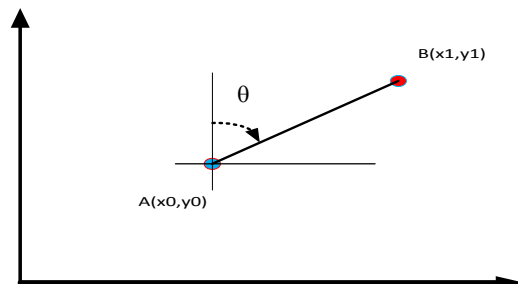
شکل (۳) فاصله اقلیدوسی بین پیکسل های مرکزی قطعات تصویر و چند مینوشیای فرضی را بطور نمادین نشان می دهد. در این شکل به علت جلوگیری از شلوغ شدن، تصویر به 9 قسمت مساوی تقسیم شده و دارای 3 مینوشیا می باشد. همچنین از رسم فاصله بین سایر پیکسل های قطعات و مینوشیاها پرهیز شده است. از آنجا که تعداد نقاط مینوشیا در اثر انگشت محدود می باشد، در صورت عدم قطعه بندی به روش پیشنهادی، تصادفی بودن کلید به دست آمده کاهش می یابد.



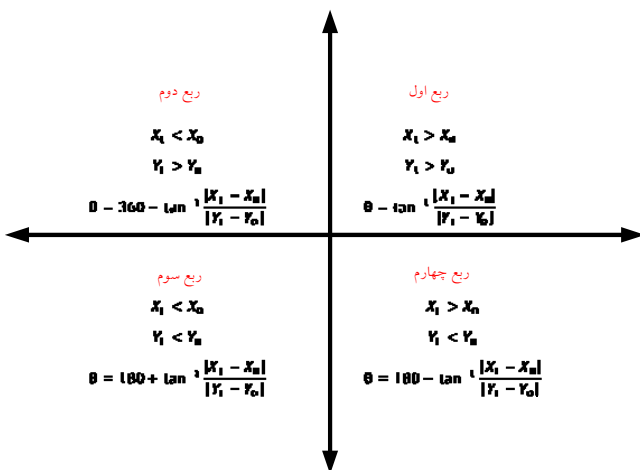
شکل (۳): فاصله اقلیدوسی بین پیکسل های مرکزی قطعات و مینوشیای فرضی در یک تصویر سمبلیک.

۳-۳- زاویه بین مینوشیاها و پیکسل های مرکزی هر قطعه

در ادامه برای دستیابی به داده های بیشتر، زاویه بین پیکسل های مرکزی هر قطعه و مینوشیاها را پیدا می کنیم و در ماتریس جداگانه ذخیره می نماییم. فرض کنید دو نقطه با مختصات $A(x_0, y_0)$ و $B(x_1, y_1)$ وجود دارد، زاویه بین این دو نقطه با توجه به شکل (۴) بصورت روابط (۵) و (۶) محاسبه می شود. این زاویه نسبت به محور عمود سنجیده می شود.



شکل (۴): محاسبه زاویه بین دو نقطه.

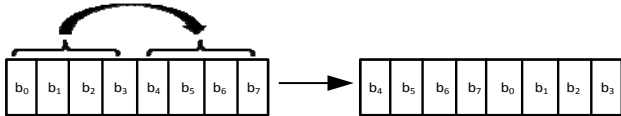


شکل (۵): شروط چهارگانه و روابط مربوط جهت محاسبه زاویه برای چهار ربع.

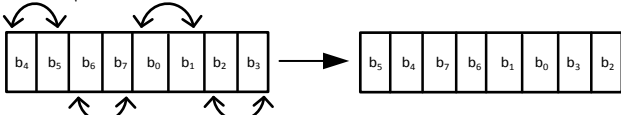
$$(x_1, y_1) = (x_0 + r \sin \theta, y_0 + r \cos \theta) \quad (۵)$$

۳-۵- جابجایی بی‌تی

در این مرحله درایه‌های ماتریس نهایی را که هر یک شامل یک عدد ۸-بیتی می‌باشند طی عملیات شیفت و چرخش در دو مرحله جابجا می‌کنیم. در مرحله اول ۴ بیت پرارزش با ۴ بیت کم ارزش جابجا می‌شوند. سپس در مرحله دوم هر بیت بصورت دو به دو با بیت بعدی جابجا می‌شود. این عملیات نیز یکی دیگر از پیشنهادات مقاله به منظور ایجاد داده‌های تصادفی‌تر روی تک تک داده‌های ۸-بیتی می‌باشد. در شکل‌های (۸) و (۹) یک درایه از ماتریس نهایی نمایش داده شده است که روند اعمال جابجایی‌های پیشنهادی روی آن در دو مرحله انجام شده است.



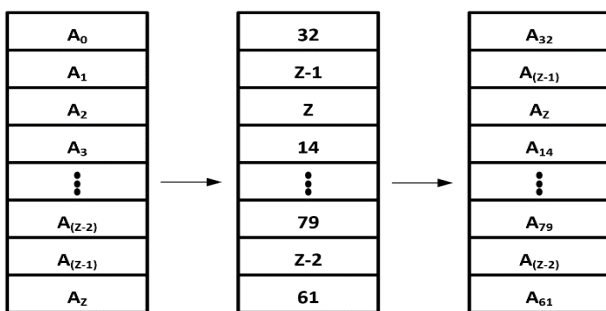
شکل (۸): مرحله اول: جابجایی ۴ بیت پر ارزش با ۴ بیت کم ارزش.



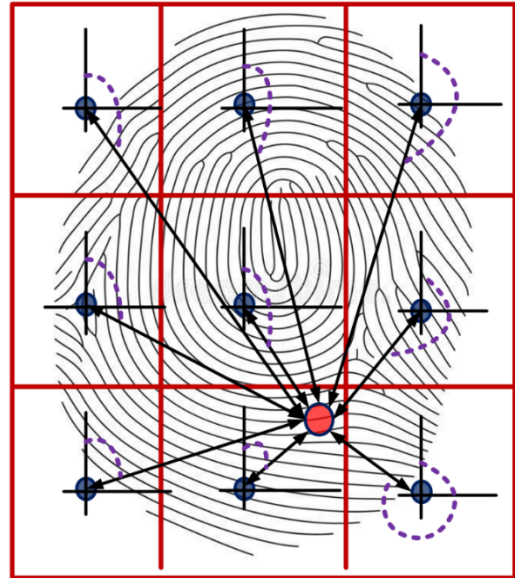
شکل (۹): مرحله دوم: جابجایی بیت‌های کناری بصورت دو به دو.

۳-۶- جایگشت

پیشنهاد ما در این بخش برای جابجایی درایه‌های ماتریس نهایی کلید تولید شده و افزایش تصادفی بودن کلید، استفاده از توزیع یکنواخت می‌باشد. به این صورت که ابتدا داده‌های تصادفی توسط تابع یکنواخت تولید می‌شوند. سپس از این اعداد به عنوان اندیس استفاده می‌کنیم و طبق آن روی داده‌های ماتریس نهایی جابجایی انجام می‌دهیم. این عملیات بمنظور افزایش پیچیدگی و تصادفی بودن کلید تولید شده صورت می‌گیرد. شکل (۱۰) روند کلی جایگشت را نشان می‌دهد.



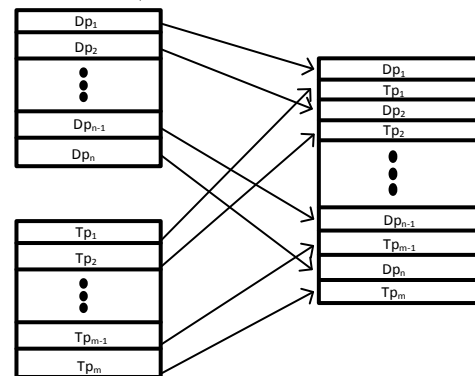
شکل (۱۰): روند کلی جایگشت کلید. (a): ماتریس کلید قبل از اعمال توزیع یکنواخت. (b): تولید اعداد تصادفی توسط توزیع یکنواخت به تعداد درایه‌های کلید و اعمال آن روی ماتریس کلید. (c): تولید کلید نهایی پس از اعمال توزیع یکنواخت و جایگشت درایه‌ها.



شکل (۶): زاویه بین پیکسل‌های مرکزی قطعات و مینوشیای فرضی در یک تصویر سمبلیک.

۳-۴- ترکیب دو ماتریس فاصله و زاویه بصورت زوج و فرد

پس از محاسبه زاویه و فاصله اقلیدوسی بین نقاط مینوشیا و پیکسل‌های مرکزی هر قطعه داده‌های مربوط به فاصله و زاویه را بطور جداگانه نرمال‌سازی می‌کنیم و در ماتریس‌های D_p و T_p به ترتیب ذخیره می‌نماییم. نحوه نرمال‌سازی به این صورت است که برای قرار گرفتن داده‌ها در قالب اعداد ۸-بیتی، باقیمانده آنها نسبت به عدد 2^8 محاسبه و در ماتریس مربوط ذخیره می‌شود. بعد از نرمالیزاسیون، برای رسیدن به یک ماتریس واحد دو ماتریس فاصله و زاویه را بصورت زوج و فرد مطابق شکل (۷) با یکدیگر ترکیب می‌کنیم. اگر ماتریس D_p شامل n بردار مربوط به فاصله اقلیدوسی و ماتریس T_p شامل m بردار مربوط به زاویه باشد، ماتریس نهایی شامل $Z=n+m$ داده خواهد بود. درایه‌های زوج ماتریس نهایی شامل داده‌های ماتریس T_p و درایه‌های فرد ماتریس مذکور شامل داده‌های ماتریس D_p می‌باشد. این جابجایی را جهت افزایش تصادفی بودن، بالا رفتن پیچیدگی الگوریتم و در نتیجه بهبود کلید تولید شده پیشنهاد کرده‌ایم.



شکل (۷): ترکیب ماتریس فاصله (D_p) و زاویه (T_p) بصورت زوج و فرد.

۴- آزمایشات و شبیه سازی

در این بخش جزئیات آزمایشات و نتایج و تحلیل آنها را می آوریم.

۴-۱- دادگان استفاده شده

در این کار از پایگاه داده اثر انگشت DB3_B ، FVC2002 DB1_B [28] استفاده شده است. هر پایگاه داده شامل ۸۰ تصویر برای ۱۰ شخص متفاوت است، بصورتی که از اثر انگشت هر شخص ۸ تصویر مختلف وجود دارد. ابعاد هر تصویر در DB1_B 388×374 و در DB3_B بصورت 300×300 می باشد. رزولوشن تصاویر در هر دو پایگاه داده برابر با 500 dpi است. همچنین سنسور به کار رفته برای ثبت تصاویر در پایگاه داده DB1_B از نوع سنسور نوری Touch View II و برای پایگاه داده DB3_B از نوع سنسور خازنی FX2000 می باشد.

۴-۲- جزئیات شبیه سازی

در این روش ابتدا تمام تصاویر موجود در پایگاه داده FVC2002 DB1_B و DB3_B به تصاویر خاکستری و سپس به تصاویر باینری تبدیل می شوند. در ادامه با استفاده از مورفولوژی عمل نازک سازی تصاویر را انجام می دهیم. همچنین برای استخراج نقاط مینوشیا حول هر پیکسل پنجره هایی با ابعاد 3×3 اعمال می شود. الگوریتم استخراج نقاط مینوشیا طبق روش استاندارد در [27] انجام شده است. همچنین در روش پیشنهادی تصویر هر اثر انگشت را به ۴۴ قطعه مساوی تقسیم می کنیم. مطابق نتایج آزمایشات تجربی و با توجه به ابعاد تصاویر، دستیابی به داده های زیاد تصادفی و زیاد نشدن زمان تولید کلیدنهایی این عدد برابر ۴۴ انتخاب شده است. در این رویکرد، برای تصاویر موجود در پایگاه داده FVC2002 DB1_B مینیمم تعداد مینوشیا استخراج شده برابر ۲۶ و ماکزیمم آن ۶۴ می باشد. در حالی که برای پایگاه داده FVC2002 DB3_B این اعداد به ترتیب ۴۰ و ۱۰۵ بدست آمده است. سپس فاصله و زاویه بین مینوشیاها با پیکسل های مرکزی هر ۴۴ قطعه محاسبه می شود. در انتها هم دو عملیات جابجایی و جایگشت روی کلیدهای تولید شده صورت می گیرد و کلید نهایی به دست می آید. برای انجام این کار از ابزار شبیه سازی Matlab R2018b استفاده کرده ایم.

۴-۳- نتایج آزمایشات

آزمایش ها و تست های صورت گرفته در این کار عبارتند از: مجموعه تست های NIST، شمارش تعداد بیت های ۱۰ و کلیدهای تولید شده، نسبت تعداد یک های ماتریس کلید به کل بیت ها، طول بیت کلید تولید شده، زمان لازم جهت انجام مراحل الگوریتم پیشنهادی، تعداد کلیدهای ۱۲۸ بیتی قابل تولید از رشته بیت کلید

نهایی، شمارش بیت های ۱۰ به هم پیوسته با طول ۲ تا ۱۶ بیت، هیستوگرام و فاصله همینگ کلیدهای تولید شده.

مجموعه تست های NIST مجموعه ای از آنالیزهای آماری است که متشکل از ۱۵ تست است و برای بررسی تصادفی بودن دنباله های باینری ایجاد شده است [9]. دنباله های باینری ممکن است از مولدهای رمزنگاری تصادفی یا مولدهای رمزنگاری شبه تصادفی مبتنی بر سخت افزار یا نرم افزار تولید شده باشند. برای بکارگیری هر کدام از تست های NIST، باید تعداد بیت های دنباله مورد سنجش از مقدار آستانه تعریف شده برای آن تست بیشتر باشد.

۱۵ تست NIST عبارتند از: Run، Monobit، Binary Matrix Rank، Serial، Non Overlapping Template Match، Cumulative Sums (forward)، Approximate Entropy، Frequency Test within a Block، Random Excursions Discrete Fourier، Longest Run of Ones in a Block Linear، Overlapping Template Matching، Transform Random و Cumulative Sums (Reverse)، Complexity Excursions Variant. این تست ها بر روی انواع مختلفی از بخش های غیر تصادفی که ممکن است در یک دنباله باینری وجود داشته باشد، تمرکز می کند. در ادامه به توضیح تعدادی از تست ها می پردازیم:

Cumulative Sums (Cusum) test: در این تست هدف بررسی تصادفی بودن یا نبودن کل دنباله ورودی است. با تغییر بیت های (۱۰) به (۱-۱) و جمع کردن بیت ها با یکدیگر هر چه به صفر نزدیکتر شویم، دنباله مدنظر تصادفی تر است.

Run test: این تست بررسی می کند که آیا تعداد صفرهای کنار هم و تعداد یک های کنار هم با طول های مختلف در کل دنباله، مطابق انتظار یک دنباله تصادفی می باشد یا خیر.

Binary Matrix Rank test: هدف از این آزمون بررسی وابستگی خطی بین رشته بیت های فرعی با طول ثابت در کل رشته بیت ورودی می باشد.

Linear Complexity test: تمرکز اصلی این تست روی طول شیفت رجیستر بازخورد خطی (LFSR) و میزان پیچیدگی دنباله ورودی می باشد. چنانچه طول LFSR زیاد شود پیچیدگی نیز بیشتر خواهد شد.

در جداول (۱) و (۲) نتایج ۱۵ تست NIST و مقادیر P-value برای تصاویر 107_6.tif، 106_1.tif، 102_1.tif، 103_3.tif و 104_7.tif از پایگاه داده اثر انگشت FVC2002 DB1_B آورده شده است. در جدول (۳) نتایج مجموعه تست های NIST برای تصویر 105_4.tif با روش پیشنهادی و کارهای جدید دیگر آورده شده است. همچنین رشته بیت های تولیدی از نظر مقادیر P-value با هم مقایسه شده اند.

میانگین مقادیر P-value و میانگین تعداد تست هایی که تصادفی بودن کلیدهای تولید شده از پایگاه داده FVC2002 DB1_B را تایید می کنند، در جدول (۴) آمده است.

و نقاط مینوشیا، محاسبه زوایای بین پیکسل‌های مرکزی قطعات و نقاط مینوشیا و قراردادن آنها در چهار ربع دستگاه مختصات، جابجایی بیتی و ترکیب دو ماتریس می‌باشد. میانگین زمانی برای هر تصویر براساس ۱۰ تصویر انتخابی از پایگاه داده اثر انگشت FVC2002 DB1_B به دست آمده است.

در جدول (۱۰) نتایج کلی حاصل از الگوریتم پیشنهادی و مقایسه آن با جدیدترین روش‌های این حوزه آورده شده است. این نتایج شامل: میانگین مقادیر P-value، میانگین تست‌های تایید شده NIST، طول بیت کلیدهای تولید شده، تعداد کلیدهای تصادفی ۱۲۸ بیتی قابل تولید از رشته بیت نهایی و زمان تولید کلید نهایی می‌باشد.

بخشهای (a) و (b) شکل (۱۱) به ترتیب شمارش تعداد بیت‌های صفر و یک به هم پیوسته با طول ۲ تا ۱۶ بیت در دو تصویر 106_1.tif و 108_1.tif از پایگاه داده اثر انگشت FVC2002 DB1_B را در روش پیشنهادی نشان می‌دهند. تعداد بیت به هم پیوسته در زیر هر ستون مشخص شده است.

در شکل (۱۲) هیستوگرام مقادیر کلید تصادفی برای دو تصویر 102_1.tif و 104_7.tif در روش پیشنهادی آورده شده است.

جدول (۵) مقادیر تعداد بیت‌های ۱ و ۰ و نسبت آنها به تعداد کل بیت‌های کلید در ماتریس کلید تولید شده از ۱۰ تصویر اثر انگشت را نشان می‌دهد. این مقادیر برای ماتریس‌های کلید تولید شده بر اساس ۱۰ تصویر اثر انگشت FVC2002 DB1_B مورد بررسی قرار گرفته است.

جدول (۶) مقایسه نسبت یک‌های ماتریس کلید بر کل بیت‌ها را برای روش پیشنهادی و کارهای دیگر ارائه می‌دهد. در این مقایسه، ۱۰ تصویر از پایگاه داده FVC2002 DB1_B انتخاب شده است.

جدول (۷) مقایسه میانگین طول بیت کلیدهای تولید شده توسط روش پیشنهادی و روش‌های موجود را نشان می‌دهد. در این مقایسه برای ۸۰ تصویر پایگاه داده اثر انگشت FVC2002 DB3_B، ۸۰ کلید به دست آمده است و مقدار میانگین طول بیت آنها در جدول (۷) آمده است.

جدول (۸) تعداد کلیدهای تصادفی ۱۲۸ بیتی که می‌توان از میانگین رشته بیت کلیدهای نهایی استخراج کرد را در کار پیشنهادی و کارهای پیشین نمایش می‌دهد.

زمان لازم برای انجام تک تک مراحل الگوریتم پیشنهادی و مقایسه زمان تولید کلید نهایی با کارهای دیگر در جدول (۹) آورده شده است. این مراحل شامل: استخراج نقاط مینوشیا، قطعه‌بندی تصویر، محاسبه فاصله اقلیدوسی بین پیکسل‌های مرکزی قطعات

جدول (۱): نتایج ۱۵ تست NIST برای کلیدهای تولید شده به روش پیشنهادی روی ۳ تصویر انتخابی.

نوع تست	مقدار P-value	نتیجه تست تصویر ۱-۱۰۲		نتیجه تست تصویر ۳-۱۰۳		نتیجه تست تصویر ۱-۱۰۶	
		تصادفی	غیر تصادفی	تصادفی	غیر تصادفی	تصادفی	غیر تصادفی
Monobit	۰,۴۲۳۵۹	✓	✓	✓	✓	✓	✓
Run	۰,۵۶۵۷۱	✓	✓	✓	✓	×	✓
Binary Matrix Rank	۰,۳۹۱۹۲	✓	✓	✓	✓	✓	✓
Non Overlapping Template Match	۰,۴۴۰۱۸	✓	✓	✓	✓	✓	✓
Serial	۰,۰۱۲۲۱	✓	✓	✓	✓	✓	✓
Approximate Entropy	۰,۰۵۷۶۱	✓	✓	✓	✓	✓	✓
Cumulative Sums(forward)	۰,۲۰۴۶۲	✓	✓	✓	✓	✓	✓
Random Excursions	۰,۹۶۲۵۶	✓	✓	✓	✓	✓	✓
Frequency Test within a Block	۰,۵۹۱۲۲	✓	✓	✓	✓	✓	✓
Longest Run of Ones in a Block	۰,۱۲۷۳۲	✓	✓	✓	✓	✓	✓
Discrete Fourier Transform	۰,۲۰۹۶۷	✓	✓	✓	✓	✓	✓
Overlapping Template Matching	۰,۲۳۶۹۲	✓	✓	✓	✓	✓	✓
Linear Complexity	۰,۸۸۸۴۷	✓	✓	✓	✓	✓	✓
Cumulative Sums (Reverse)	۰,۷۸۴۳۴	✓	✓	✓	✓	✓	✓
Random Excursions Variant	۰,۹۶۲۵۶	✓	✓	✓	✓	✓	✓

جدول (۲): نتایج ۱۵ تست NIST برای کلیدهای تولید شده به روش پیشنهادی روی ۳ تصویر انتخابی.

نوع تست	مقدار p-value تصویر	مقدار p-value تصویر	نتیجه تست تصویر		نتیجه تست تصویر		نتیجه تست تصویر	
			۶-۱۰۷	۷-۱۰۴	۴-۱۰۱	۶-۱۰۷	۷-۱۰۴	۴-۱۰۱
			تصادفی	غیر تصادفی	تصادفی	غیر تصادفی	تصادفی	غیر تصادفی
Monobit	۰,۶۱۶۱۲	۰,۲۹۷۰۷	✓		✓		✓	
Run	۰,۴۹۲۵۲	۰,۰۷۴۶۱	✓		✓		✓	
Binary Matrix Rank	۰,۲۰۹۹۴	۰,۷۴۷۱۱	✓		✓		✓	
Non Overlapping Template Match	۰,۶۱۳۰۶	۰,۴۸۶۵۵	✓		✓		✓	
Serial	۰,۷۱۳۲۲	۰,۱۵۸۰۶	✓		✓		✓	
Approximate Entropy	۰,۲۲۶۹۷	۰,۱۱۲۹۳	✓		✓		✓	
Cumulative Sums(forward)	۰,۷۵۲۲۱	۰,۰۶۲۲۳	✓		✓		✓	
Random Excursions	۰,۴۴۷۱۴	۰,۴۷۰۳۸	✓		✓		✓	
Frequency Test within a Block	۰,۶۹۵۰۶	۰,۰۰۲۹۶	✓	x	✓		✓	
Longest Run of Ones in a Block	۰,۲۴۱۴۳	۰,۶۳۷۲۷	✓		✓		✓	
Discrete Fourier Transform	۰,۳۷۵۳۶	۰,۶۱۲۴۴	✓		✓		✓	
Overlapping Template Matching	۰,۷۵۱۷۰	۰,۹۹۸۹۵	✓		✓		✓	
Linear Complexity	۰,۷۲۹۷۳	۰,۰۸۷۱۶	✓		✓		✓	
Cumulative Sums (Reverse)	۰,۹۴۶۶۳	۰,۵۲۹۸۷	✓		✓		✓	
Random Excursions Variant	۰,۲۱۵۹۲	۰,۷۰۵۴۵	✓		✓		✓	

جدول (۳): نتایج ۱۵ تست NIST برای یک کلید خاص تولید شده به روش پیشنهادی و روشهای دیگر

نوع تست	مقدار p-value تصویر	مقدار p-value تصویر	کار [5]		کار [6]		روش پیشنهادی
			تصادفی	غیر تصادفی	تصادفی	غیر تصادفی	
	۴-۱۰۵	۴-۱۰۵	تصادفی	غیر تصادفی	تصادفی	غیر تصادفی	روش پیشنهادی
Monobit	۰,۰۰۷۹۴	۰,۶۴۶۱۷	✓	x	✓		روش پیشنهادی
Run	۰,۰۸۱۷۷	۰,۰۳۸۵۰	✓		✓		روش پیشنهادی
Binary Matrix Rank	۰,۰۰۳۹۷	۰,۰۲۴۸۶	✓	x	✓		روش پیشنهادی
Non Overlapping Template Match	۰,۰۴۶۱۰	۰,۵۴۳۲۸	✓		✓		روش پیشنهادی
Serial	۰,۰۰۷۶۳	۰,۰۰۴۳۱	✓	x	✓		روش پیشنهادی
Approximate Entropy	۰,۰۱۳۳	۰,۰۰۲۸۰	✓		✓		روش پیشنهادی
Cumulative Sums(forward)	۰,۰۰۵۰۶	۰,۲۸۸۹۸	✓	x	✓		روش پیشنهادی
Random Excursions	۰,۸۷۳۰۶	۰,۷۹۱۴۷	✓		✓		روش پیشنهادی
Frequency Test within a Block	۰,۲۹۴۱۳	۰,۰۰۱۹۹	✓		✓		روش پیشنهادی
Longest Run of Ones in a Block	۰,۱۲۰۴۰	۰,۶۳۰۸۳	✓		✓		روش پیشنهادی
Discrete Fourier Transform	۰,۶۴۰۶۱	۰,۲۹۲۲۵	✓		✓		روش پیشنهادی
Overlapping Template Matching	۰,۰۰۷۵۳	۰,۶۰۸۵۷	✓	x	✓		روش پیشنهادی
Linear Complexity	۰,۳۲۴۹۵	۰,۰۰۴۹۱	✓		✓		روش پیشنهادی
Cumulative Sums (Reverse)	۰,۰۱۵۳۸	۰,۶۲۹۰۹	✓		✓		روش پیشنهادی
Random Excursions Variant	۰,۴۶۳۱۴	۰,۷۵۱۳۷	✓		✓		روش پیشنهادی

جدول (۸): تعداد کلیدهای تصادفی ۱۲۸ بیتی قابل تولید از متوسط رشته بیت‌های کلید نهایی

کار	تعداد کلیدهای ۱۲۸ بیتی
[8]	۱
[12]	۱
[7]	$5,77 \times 10^{75}$
[5]	$1,74 \times 10^{231}$
[6]	$2,20 \times 10^{270}$
روش پیشنهادی	$4,61 \times 10^{471}$

جدول (۹): میانگین زمان لازم جهت انجام تک تک مراحل الگوریتم تولید کلید رمزنگاری هر تصویر بر روی ۱۰ تصویر انتخابی برای کار پیشنهادی و دیگر کارها

نام مراحل	زمان (میلی ثانیه)
استخراج نقاط مینوشیا	۱۶
قطعه‌بندی	۲,۸
محاسبه فاصله اقلیدوسی	۱,۹
محاسبه زاویه	۶,۵
جابجایی بیتی	۳,۱
ترکیب ماتریس فاصله و زاویه	۰,۷
تولید کلید نهایی در روش پیشنهادی	۳۱
تولید کلید نهایی کار [5]	۴۶
تولید کلید نهایی کار [6]	۶۲

۴-۳-۴- بحث و تحلیل نتایج

در این قسمت تمامی نتایجی که در بخش (۴-۲) آورده شده است مورد بررسی و تحلیل قرار می‌گیرد.

۴-۳-۱- بررسی مجموعه تست‌های NIST

برای تشخیص تصادفی بودن یا تصادفی نبودن یک دنباله در تست NIST از معیاری به اسم P-value استفاده می‌شود. اگر مقدار $P\text{-value} \geq 0.01$ باشد، دنباله مورد نظر از دید آن تست تصادفی و اگر $P\text{-value} < 0.01$ باشد، آنگاه دنباله ورودی غیر تصادفی است. با توجه به نتایج NIST در جداول (۱) و (۲) مشاهده می‌شود که در اکثر تستها برای ۶ تصویر مورد تست، دنباله تصادفی تشخیص داده می‌شود. لذا الگوریتم پیشنهادی دارای قابلیت اطمینان بالایی است و می‌تواند دنباله‌های تصادفی ایجاد کند.

طبق جدول (۳)، تمامی تست‌های مجموعه NIST روی یک تصویر انتخاب شده، صحت تصادفی بودن کلید تولید شده توسط الگوریتم پیشنهادی را تایید می‌کنند. در حالی که در کارهای [5] و [6] نتایج برخی از تست‌های NIST تصادفی بودن کلید تولید شده نهایی را تایید نمی‌کنند.

جدول (۴): نتایج مجموعه تست‌های NIST و مقادیر p-value روی پایگاه داده FVC2002 DB1-B

کار	میانگین تست های تایید شده	میانگین مقادیر p-value
[5]	۱۱,۵	۰,۳۵۵
[6]	۱۲,۵	۰,۳۲۳
روش پیشنهادی	۱۴,۵	۰,۴۸۱

جدول (۵): مقادیر تعداد بیت های ۱ و ۰ در ماتریس کلید تولید شده از ۱۰ تصویر اثر انگشت.

شماره تصویر	تعداد صفرها	تعداد یک ها	تعداد کل یک و صفرها	نسبت صفرها به کل	نسبت یک ها به کل
۱-۱۰۱	۹۴۷۶	۸۸۲۸	۱۸۳۰۴	۰,۵۱۷	۰,۴۸۲
۲-۱۰۲	۱۶۷۳۱	۱۵۶۵۳	۳۲۳۸۴	۰,۵۱۶	۰,۴۸۳
۱-۱۰۳	۱۳۹۹۵	۱۲۷۵۷	۲۶۷۵۲	۰,۵۲۳	۰,۴۷۶
۱-۱۰۴	۲۳۳۱۱	۲۱۷۴۵	۴۵۰۵۶	۰,۵۱۷	۰,۴۸۲
۱-۱۰۵	۱۷۱۹۴	۱۵۸۹۴	۳۳۰۸۸	۰,۵۱۹	۰,۴۸۰
۱-۱۰۶	۲۰۰۱۲	۱۸۷۰۸	۳۸۷۲۰	۰,۵۱۶	۰,۴۸۳
۱-۱۰۷	۱۳۱۸۷	۱۲۱۵۷	۲۵۳۴۴	۰,۵۲۰	۰,۴۷۹
۱-۱۰۸	۲۵۳۶۷	۲۳۹۱۳	۴۹۲۸۰	۰,۵۱۴	۰,۴۸۵
۱-۱۰۹	۱۱۳۲۱	۱۰۵۰۳	۲۱۸۲۴	۰,۵۱۸	۰,۴۸۱
۱-۱۱۰	۱۴۷۴۹	۱۴۰۷۰	۲۸۸۱۹	۰,۵۱۱	۰,۴۸۸

جدول (۶): مقایسه معیار نسبت تعداد یک های ماتریس کلید بر تعداد کل بیت‌های کلید برای کار پیشنهادی و دیگر کارها.

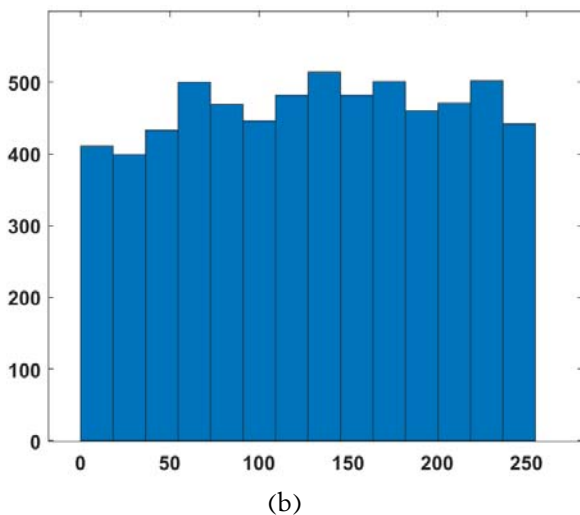
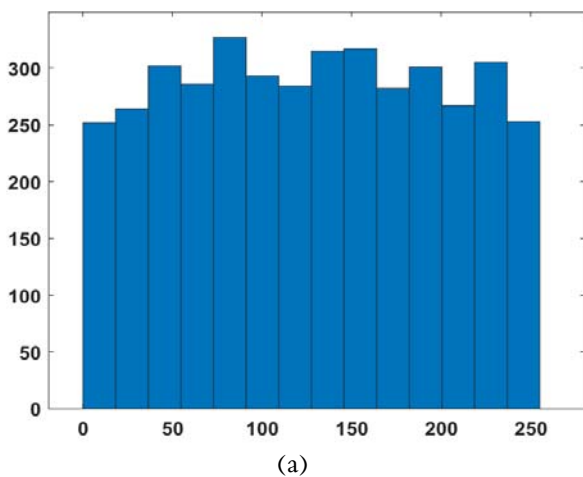
کار	میانگین معیار نسبت تعداد یک‌های ماتریس کلید بر تعداد کل بیت های کلید
[11]	۰,۱۱۵۹
[13]	۰,۵۲۰۰
[6]	۰,۵۰۹۳
[5]	۰,۵۱۰۰
روش پیشنهادی	۰,۴۸۱۹

جدول (۷): مقایسه میانگین طول بیت کلیدهای تولید شده برای کار پیشنهادی و دیگر کارها.

کار	طول بیت کلیدهای تولید شده
[8]	۱۲۸
[7]	۲۵۶
[12]	۱۲۸
[7]	۲۰۴۸
[5]	۳۱۶۰
[6]	۶۳۲۰
روش پیشنهادی	۶۳۷۵۱

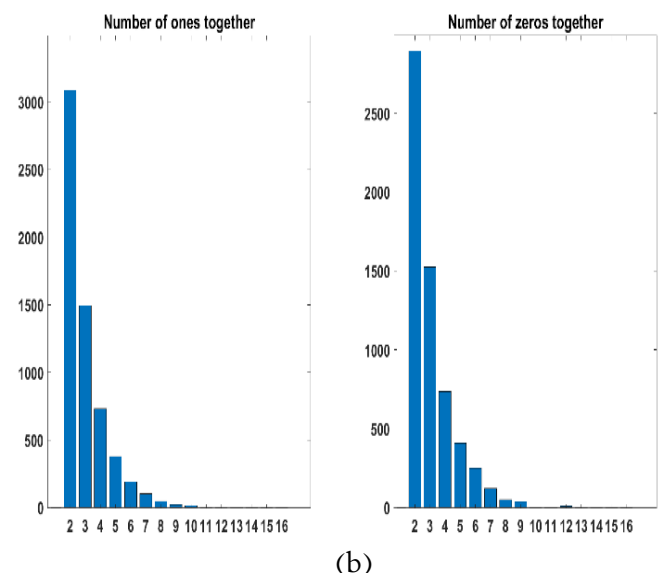
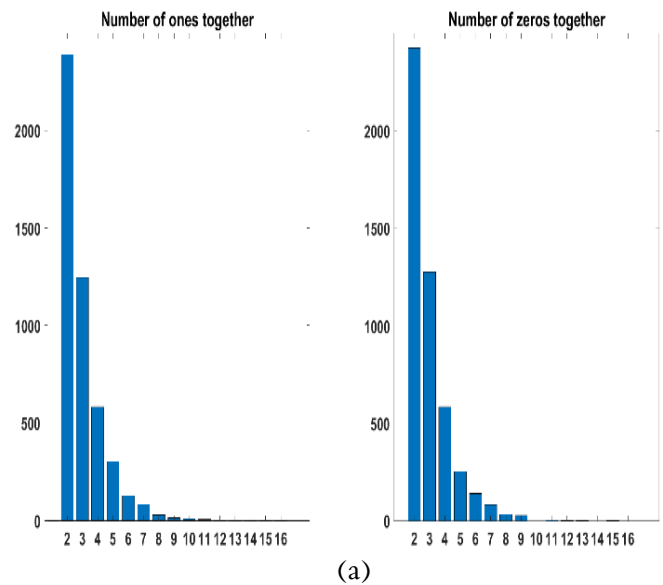
جدول (۱۰): نتایج کلی حاصل از الگوریتم پیشنهادی و مقایسه با کارهای دیگران

کار	میانگین تست‌های تایید شده از ۱۵ تست NIST	میانگین مقادیر p-value روی پایگاه داده FVC2002 DB1-B	میانگین زمان لازم برای تولید کلید نهایی (میلی ثانیه)	طول بیت کلیدهای تولید شده	تعداد کلیدهای تصادفی ۱۲۸ بیتی قابل تولید از رشته بیت‌های کلید نهایی
[5]	۱۱,۵	۰,۳۵۵	۴۶	۳۱۶۰	$۱,۷۴ \times ۱۰^{۲۳۱}$
[6]	۱۲,۵	۰,۳۲۳	۶۲	۶۳۲۰	$۲,۲۰ \times ۱۰^{۲۷۰}$
روش پیشنهادی	۱۴,۵	۰,۴۸۱	۳۱	۶۳۷۵۱	$۴,۶۱ \times ۱۰^{۴۷۱}$



شکل (۱۲): هیستوگرام مقادیر ماتریس کلید تصادفی برای دو تصویر اثر انگشت 102_1.tif (a) و 104_7.tif (b)

تست mono bit به بررسی تصادفی بودن یا نبودن یک دنباله بیتی می‌پردازد. هرچه تعداد صفر و یک‌ها در دنباله به هم نزدیک‌تر باشد یعنی نسبت تعداد بیت‌های یک به تعداد کل نزدیک‌تر به 0.5 باشد، رشته بیت ورودی به حالت تصادفی نزدیک‌تر است. با توجه به جدول (۳) این تست، برای الگوریتم پیشنهادی تصادفی بودن و توزیع برابر صفر و یک‌ها را در کل دنباله نشان می‌دهد. همچنین توصیه شده است که مینیمم طول



شکل (۱۱): نمودار تعداد شمارش بیت‌های ۰ و ۱ به هم پیوسته با طول ۲ تا ۱۶ بیت برای دو تصویر اثر انگشت 106_1.tif (a) و 108_1.tif (b) از پایگاه داده اثر انگشت FVC2002 DB1_B

می‌باشد. در ستون سوم جدول (۴)، برای تمام تست‌ها، مقادیر p -value محاسبه و میانگین آنها بدست آمد که برای روش پیشنهادی این عدد به ۰,۴۸۱ رسید که با توجه به بیشتر بودن تعداد تست‌های تصادفی نسبت به کارهای [5] و [6]، نتیجه می‌گیریم که رویکرد ما از نظر این معیار بهتر عمل می‌کند. علت مقایسه با روش‌های [5] و [6]، جدیدتر بودن این دو کار و بهتر بودن این روش‌ها در معیارهای دیگر که در بخش‌های بعدی بررسی می‌شوند از جمله نسبت تعداد یک‌های ماتریس کلید به تعداد کل بیت‌ها و همچنین طول بیت بیشتر کلید نهایی در مقایسه با روش‌های قبل‌تر است که خود معیاری از تصادفی بودن بیشتر کلید می‌باشد.

۲-۳-۴- بررسی شمارش ۰ و ۱ها در دنباله کلید

در این تست تعداد بیت‌های ۱ و ۰ در کل مقادیر ماتریس کلید محاسبه می‌شوند. اگر درصد تعداد بیت‌های ۱ و ۰ به هم نزدیک باشند، یعنی نزدیک ۵۰ درصد برای هر کدام باشد، نشان می‌دهد که توزیع بیت‌های ۱ و ۰ در کل ماتریس بصورت یکنواخت می‌باشد. در واقع، نسبت تعداد یک‌های ماتریس کلید تقسیم بر تعداد کل بیت‌های کلید به عنوان یک معیار مقایسه‌ای در نظر گرفته می‌شود. در حالت ایده‌آل مقدار این معیار باید برابر ۰,۵ باشد که نشان دهنده برابر بودن تعداد صفرها و یک‌های کلید و توزیع یکنواخت آنها می‌باشد. همان‌طور که در جدول (۵) دیده می‌شود، اعداد مربوط به تعداد بیت‌های ۱ و ۰ در ماتریس‌های کلید تولید شده به روش پیشنهادی نشان دهنده نزدیک بودن تعداد بیت‌های ۱ و ۰ در کلید می‌باشد. بنابراین کلید تولید شده دارای تعداد بیت‌های ۰ و ۱ متعادل است. از طرفی اختلاف نسبت صفرها به کل بیت‌ها با نسبت یک‌ها به کل بیت‌ها تقریباً ثابت بوده و برابر 0.03 می‌باشد. این امر نشان دهنده حساس نبودن روش پیشنهادی به نوع تصویر اثر انگشت می‌باشد. در جدول (۶) نیز نسبت تعداد یک‌های ماتریس کلید بر تعداد کل بیت‌های کلید برای مقایسه بین روش پیشنهادی و چند کار دیگر آورده شده است. مطابق جدول (۶)، میانگین این معیار در روش پیشنهادی در این مقاله برابر عدد ۰,۴۸۱۹ است. همان‌طور که در جدول (۶) مشاهده می‌شود، نتیجه بدست آمده برای روش پیشنهادی قابل قبول می‌باشد. توجه به این نکته لازم است که هر چند در کارهای [5] و [6]، مقدار این معیار کمی از روش پیشنهادی بهتر است، ولی مطابق نتایج جدول (۴)، نتایج معیار NIST در روش ما هم از لحاظ تعداد تست‌های تصادفی تایید شده و هم مقدار P -value مقدار بهتری دارد که نشان دهنده میزان بیشتر تصادفی بودن کلید و در نتیجه امنیت بیشتر آن در روش پیشنهادی می‌باشد.

بیت دنباله ورودی ۱۰۰ باشد. با توجه به این نکته نمی‌توان گفت که دلیل رد شدن این تست برای کار [5] کم بودن تعداد بیت است، بلکه دلیل آن عدم توازن و برابری صفر و یک و در نتیجه تصادفی نبودن کلید تولید شده است.

Serial test یکی دیگر از تست‌های NIST است. این تست به بررسی حضور الگوهای m -بیتی در کل دنباله می‌پردازد. با توجه به یکنواخت بودن دنباله‌های تصادفی، شانس وجود هر الگوی m بیتی باید با شانس بقیه الگوهای m بیتی برابر باشد. واضح است که دلیل تصادفی بودن کلید تولید شده توسط الگوریتم پیشنهادی، تعداد زیاد بیت‌های آن است، چرا که تعداد بیت زیاد موجب بیشتر شدن الگوها و در نتیجه بالارفتن شانس برابری الگوهای m -بیتی با یکدیگر می‌شود. دلیل رد شدن این تست توسط کار [5] و [6]، پایین بودن تعداد بیت‌های کلید تولید شده است.

تست Frequency Test within a Block رشته بیت ورودی را به بلوک‌های M -bit تقسیم می‌کند. سپس تصادفی بودن هر بلوک بطور جداگانه مورد بررسی قرار می‌گیرد. در این تست دیگر بالا بودن تعداد بیت مهم نیست بلکه آنچه مهم است توزیع یکسان ۰ و ۱ در بلوک‌هاست. همان‌طور که در جدول (۳) دیده می‌شود این تست تصادفی بودن کلیدهای تولید شده توسط روش پیشنهادی و در عین حال تصادفی نبودن کلیدهای تولید شده توسط کار [6] را نشان می‌دهد.

مطابق نتایج جدول (۴)، در پایگاه داده مذکور از ۱۵ تست NIST، بطور میانگین در ۱۴,۵ تست با توجه به مقدار p -value تصادفی بودن کلیدها مورد تایید قرار گرفته است. همچنین طبق جدول (۴) پس از اعمال تست‌ها روی کار [5] و [6] مشاهده شد که از ۱۵ تست مذکور به ترتیب ۱۱,۵ و ۱۲,۵ تست، تصادفی بودن رشته بیت‌های تولید شده را تایید کردند. در نتیجه نسبت به روش [5] ۲۰ درصد بهبودی داریم. نکته‌ای که لازم است به آن اشاره شود این است که هر چند مقدار میانگین p -value در کار [5] نسبت به [6] بیشتر است، اما تعداد تست‌های تایید شده که معیار به نسبت مهم‌تری است، کمتر است. پس الزاماً بالا بودن مقدار میانگین p -value تعیین‌کننده بهتر بودن یک الگوریتم از نظر تصادفی بودن کلید نهایی نیست، مگر اینکه کل تست‌های NIST تایید شده باشند، یا تعداد تست‌هایی که تصادفی بودن را تایید می‌کنند بیشتر باشند. در آنصورت مانند روش پیشنهادی هر چه مقدار p -value بیشتر شود، درصد تصادفی بودن کلید هم بالاتر می‌رود. در کار [12] نیز تنها ۶ تا از تست‌های NIST روی کلیدها اعمال شده است. علت عدم استفاده از بقیه تست‌های NIST، پایین بودن تعداد بیت کلید

تصادفی تر شدن کلید حاصل بسیار موثر می‌باشد. بطور مثال طول بیت متوسط روش پیشنهادی بیش از ۱۰ برابر روش [6] است که خود طول بیت بیشتری از روشهای پیشین مطابق جدول (۷) دارد.

۴-۳-۶- محاسبه فاصله همینگ

یک معیار دیگر برای اطمینان بیشتر از عدم تشابه کلیدهای تولید شده با یکدیگر و در نتیجه تصادفی بودن آنها، فاصله همینگ می‌باشد [29]. در این معیار دو کلید به عنوان ورودی در نظر گرفته می‌شود. سپس تک تک بیت‌های آنها باهم مقایسه می‌گردند. در صورت عدم تشابه، این فاصله افزایش و در صورت تشابه فاصله ثابت می‌ماند. برای دو کلید غیر مشابه هرچه فاصله همینگ بیشتر باشد جواب مطلوب‌تر است. در این بخش ابتدا به صورت تصادفی از پایگاه داده FVC2002 DB3_B برای هر شخص یک کلید استخراج می‌کنیم و به زیر کلیدهایی با طول ۲۵۶ بیت تقسیم می‌نماییم. سپس هر کلید بصورت تصادفی با ۲۰ کلید غیر مشابه مقایسه می‌شود. در نهایت مقدار میانگین ۲۰۰۰ فاصله همینگ را محاسبه می‌نماییم. میانگین فاصله همینگ در کار [7] برای کلیدهای غیر مشابه ۴۹٫۹۴٪ و در کار پیشنهادی برابر ۵۰٫۲۱٪ می‌باشد که این فاصله همینگ بیشتر در روش ما، عدم تشابه کلیدهای تولید شده در روش پیشنهادی و در نتیجه تصادفی بودن بیشتر آنها را تایید می‌کند. البته لازم به ذکر است که تستهای NIST جزو متداول‌ترین و دقیق‌ترین معیارها برای سنجش تصادفی بودن کلیدهاست، و طبق نتایج جدول (۴) هم روش پیشنهادی در این مقاله در این راستا بسیار موفق عمل کرده است.

۴-۳-۷- تعداد کلیدهای ۱۲۸ بیتی قابل تولید از دنباله کلید پیشنهادی

به علت بالا بودن تعداد بیت کلید، معمولا در رمزنگاری از زیرکلیدهای ۱۲۸، ۲۵۶ و ۵۱۲ بیتی که از ماتریس کلید پیشنهادی استخراج می‌شوند استفاده می‌گردد. بطور مثال، در بسیاری از الگوریتم‌های رمزنگاری، طول بیت کلید مورد استفاده نهایی ۱۲۸ بیت می‌باشد. با توجه به این موضوع و در نظر گرفتن میانگین طول بیت بسیار زیاد کلیدهای تولید شده توسط روش پیشنهادی (۶۳۷۵۱ بیت)، می‌توان برای هر شخص کلیدهای تصادفی ۱۲۸ بیتی مختلف از رشته بیت کلید نهایی استخراج کرد. تعداد کلیدهای تصادفی ۱۲۸ بیتی قابل استخراج از این دنباله کلید بزرگ پیشنهادی از فرمول ترکیب $C(63751, 128)$ محاسبه می‌شود. طبق جدول (۸)، بطور تقریبی مقدار آن در روش پیشنهادی برابر است با $4,6 \times 10^{47}$ که یک عدد بسیار بزرگ با بیش از ۴۵۰ رقم می‌باشد. همچنین در جدول (۸) بین الگوریتم پیشنهادی و کارهای دیگر مقایسه‌ای انجام داده‌ایم. طبق نتایج جدول (۸)، روش پیشنهادی این مقاله نسبت به بقیه

۴-۳-۳- بررسی تعداد ۱ و ۰ های به هم پیوسته در دنباله کلید

بررسی میزان یک‌ها و صفرهای به هم پیوسته در ماتریس کلید نکته بسیار مهمی است. اگر تعداد بیت‌های ۱ یا ۰ به هم پیوسته اعداد بزرگی باشد نشان دهنده عدم توزیع یکنواخت بیت‌های ۱ و صفر در دنباله می‌باشد. ما برای بررسی بیشتر این موضوع به محاسبه تعداد بیت‌های صفر و یک به هم پیوسته با طول ۲ تا ۱۶ می‌پردازیم.

بخشهای (a) و (b) شکل (۱۱) به ترتیب شمارش تعداد بیت‌های صفر و یک به هم پیوسته با طول ۲ تا ۱۶ بیت در دو تصویر انتخابی از پایگاه داده اثر انگشت FVC2002 DB1_B را در روش پیشنهادی نشان می‌دهند. تعداد بیت به هم پیوسته در زیر هر ستون مشخص شده است. در روش پیشنهادی هر چقدر طول بیت‌های ۰ یا ۱ به هم پیوسته زیاد می‌شود اندازه ستون‌ها در شکل کاهش می‌یابد. در کار [6] تعداد یک‌های به هم پیوسته برای طول‌های ۱۴ بیت به بالا برابر صفر می‌شود، در حالی که در روش پیشنهادی این مقدار برای طول‌های ۱۱ بیت به بالا به صفر می‌رسد. علاوه بر این در کار [6] تعداد صفرهای به هم پیوسته برای طول‌های ۱۳ بیت به بالا و در روش پیشنهادی برای طول‌های ۱۲ بیت به بالا صفر می‌شود. با توجه به این تست، کلیدهای تولید شده در کار ما، دارای توزیع یکنواخت بیت‌های ۰ و ۱ می‌باشند. در نتیجه ویژگی مهم غیر قابل کشف بودن کلید حاصل در روش پیشنهادی بیشتر است.

۴-۳-۴- هیستوگرام مقادیر کلید تصادفی

هیستوگرام نمایشی از توزیع داده‌های کمی پیوسته است که می‌تواند تخمینی از توزیع احتمال باشد. اگر هیستوگرام صاف و مسطح نباشد می‌توان با حمله آماری به آن مقادیر قابل توجهی از اطلاعات را استخراج کرد، زیرا خاصیت عدم قطعیت در توزیع غیریکنواخت کمتر است. در نتیجه در رمزنگاری به دنبال یک هیستوگرام مسطح و یکنواخت هستیم. داده‌های ماتریس نهایی ۸-بیتی هستند و در محدوده ۰ تا ۲۵۵ قرار می‌گیرند. با توجه به شکل (۱۲) مقدار شمارش این داده‌ها در دو تصویر انتخابی نزدیک به یکدیگر است و در واقع از یک توزیع تقریباً یکنواخت پیروی می‌کنند. به همین دلیل احتمال قرار گرفتن اعداد در بازه‌ی ۰ تا ۲۵۵ در ماتریس نهایی کلید روش پیشنهادی تقریباً برابر می‌باشد و در نتیجه در برابر حمله آماری مقاوم خواهد بود.

۴-۳-۵- شمارش تعداد بیت کلیدهای تولید شده

طول بیت کلیدهای تولیدشده روش پیشنهادی بین ۱۹۰۰۸ و ۲۲۳۱۶۸ بیت متغیر است که مقدار میانگین بین ۸۰ کلید تولید شده ۶۳۷۵۱ بیت است. مطابق نتایج جدول (۷)، روش پیشنهادی بطور قابل ملاحظه‌ای منجر به کلیدهایی با بیشترین طول بیت در مقایسه با روشهای دیگر شده است که در

تست، نسبت به روش [5] ۲۰ درصد و نسبت به [6] ۱۳,۳۴% بهبودی داریم. همچنین طول بیت متوسط روش پیشنهادی بیش از ۱۰ برابر روش [6] است که خود طول بیت بیشتری از روشهای پیشین مطابق جدول (۷) دارد.

۵- نتیجه‌گیری

هدف این مقاله تولید کلید تصادفی برای رمزنگاری تصاویر دیجیتال اثر انگشت با دقت و امنیت بالا بوده است، به گونه‌ای که کلید تولید شده طول بیت زیاد داشته باشد تا امنیت بالایی در سیستم رمزنگاری حاصل کند. همچنین پیچیدگی الگوریتم تولید کلید شامل مراحل متعدد نیز به این مهم کمک کرده است. در روش پیشنهادی در این مقاله با تولید کلیدهایی با میانگین طول ۶۳۷۵۱ بیت به این نیازها به خوبی پاسخ داده شده است. در این کار، پس از استخراج ویژگی‌های بیومتریکی و منحصر به فرد از اثر انگشت که شامل نقاط مینوشیا هستند، برای افزایش پیچیدگی الگوریتم و بالابردن امنیت کلید تولید شده، هر تصویر اثر انگشت به ۴۴ قطعه مساوی تقسیم شد و مختصات پیکسل‌های مرکزی هر قطعه در ماتریسی ذخیره شدند. این قطعه‌بندی تصویر در عین سادگی الگوریتم، به دلیل افزایش زیاد بیت‌های تولیدی نهایی کلید یکی از پیشنهادات بسیار موثر پژوهش حاضر است که در کارهای پیشین تا آنجا که اطلاع داریم انجام نشده است. در این مقاله به منظور افزایش داده‌های تصادفی، برخلاف روش‌های پیشین که فاصله یا زاویه بین مینوشیاها را پیدا می‌کردند و در نتیجه به دلیل ثابت بودن مینوشیاها به محدودیت می‌رسیدند، فاصله اقلیدوسی و زاویه بین پیکسل‌های مرکزی هر ۴۴ قطعه با کل مینوشیاها تصویر را محاسبه کردیم. آنگاه جهت افزایش بیشتر تصادفی کردن کلید، یک الگوریتم شامل ۳ گام قرار دادن اعداد مربوط به زاویه و فاصله بصورت زوج و فرد در کنار یکدیگر، دو شکل جایجایی بیت‌ها و در نهایت اعمال توزیع یکنواخت روی داده‌های نهایی را برای تولید کلید نهایی پیشنهاد کردیم. این گام آخر پیشنهادی یعنی اعمال توزیع یکنواخت روی داده‌ها نیز به دلیل سادگی زیاد در مقایسه با بسیاری از روش‌های اعمال شده در کارهای پیشین، در عین پیچیده کردن کلید نهایی به سرعت بیشتر الگوریتم تولید کلید کمک کرده است. هریک از گام‌های جابه‌جایی و جایگشت مذکور مراحل ساده‌ای هستند که در کنار یکدیگر باعث پیچیدگی الگوریتم تولید کلید و بالارفتن امنیت شدند. روش پیشنهادی توسط مجموعه تست‌های مختلف از جمله تست‌های استاندارد NIST مورد آزمون قرار گرفت و تصادفی بودن کلیدهای نهایی تایید شد. به علت بالا بودن تعداد بیت کلید می‌توان زیر کلیدهای ۱۲۸، ۲۵۶ و ۵۱۲ بیتی از ماتریس کلید مذکور استخراج کرد و در رمزنگاری از آنها استفاده نمود. در نتیجه با روش پیشنهادی، کلید مورد استفاده در

روش‌های موجود در این زمینه بسیار بهتر عمل می‌کند. بطور مثال، این تعداد کلید ۱۲۸ بیتی قابل استخراج از روش ما حدود $2,1 \times 10^{20}$ برابر روش [6] می‌باشد که خود بیشترین تعداد ممکن را در جدول (۸) نسبت به روشهای پیشین دارد. در جدول (۸) سایز ۱۲۸ بیت بطور نمونه انتخاب شده است زیرا سایز کلید نهایی در برخی روشهای پیشین ۱۲۸ بوده است. اما با توجه به سایز بسیار زیاد کلید پیشنهادی نهایی (۶۳۷۵۱ بیت بطور متوسط)، روش ما در زیرکلیدهای بزرگتر همچون ۵۱۲ بیت نیز بسیار موفق خواهد بود و تعداد حالات ۵۱۲ بیتی قابل استخراج از آن نیز بسیار زیاد می‌باشد. در نتیجه با روش پیشنهادی، کلید مورد استفاده در رمزنگاری برای هر فرد نیز تصادفی خواهد بود که یکی دیگر از مزایای مهم رویکرد پیشنهادی می‌باشد. به عبارت دیگر، به دلیل ثابت بودن اثر انگشت هر فرد و در نتیجه ویژگیهای استخراج شده یعنی زاویه و فاصله نقاط مینوشیا با مراکز قطعه‌های هر تصویر، کل کلید تولید شده در الگوریتم پیشنهادی که بطور متوسط ۶۳۷۵۱ بیت می‌باشد ثابت خواهد بود. اما نکته مهم این است که به علت تعداد بسیار زیاد زیرکلیدهای متفاوت ۱۲۸، ۲۵۶ یا ۵۱۲ بیتی که می‌توان بصورت تصادفی از این کلید بزرگ در هر بار الگوریتم رمزنگاری نهایی استخراج کرد، کلید نهایی حتی برای هر فرد نیز تصادفی خواهد بود و در نتیجه قابل کشف نمی‌باشد.

۸-۳-۴- بررسی زمانی الگوریتم پیشنهادی

جدول (۹) میانگین زمان لازم جهت انجام تک تک مراحل الگوریتم تولید کلید رمزنگاری برای هر تصویر را با توجه به ۱۰ تصویر انتخابی برای کار پیشنهادی و دو کار [5] و [6] بعنوان نمونه‌ای از جدیدترین کارهای این زمینه نشان می‌دهد. مطابق نتایج نهایی جدول (۹)، میانگین زمان لازم برای استخراج کلید پیشنهادی در هر تصویر برابر ۳۱ میلی‌ثانیه است که ۳۳% نسبت به کار [5] و ۵۰% نسبت به کار [6] کمتر است. با توجه به ساده شدن مراحل جایگشت و جایجایی نسبت به کارهای [5] و [6]، زمان لازم جهت درهم‌ریختگی، پیچیده شدن و تصادفی‌تر کردن کلید تولید شده پیشنهادی کاهش یافته است. در نتیجه حجم محاسباتی الگوریتم این مقاله کمتر از روشهای پیشین می‌باشد که یکی دیگر از مزایای رویکرد پیشنهادی ما می‌باشد.

۹-۳-۴- مقایسه کلی الگوریتم پیشنهادی

مطابق نتایج جدول (۱۰)، الگوریتم پیشنهادی از نظر چند معیار مهم یعنی معیارهای مختلف تصادفی بودن تست‌های NIST، طول کلید تولید شده نهایی، زمان متوسط لازم برای استخراج کلید و تعداد زیرکلیدهای ۱۲۸ بیتی که می‌توان بطور متوسط از کلید نهایی برای رمزنگاری بعدی استفاده کرد از جدیدترین کارهای پیشین همچون [5] و [6] بهتر عمل می‌کند. بطور مثال از نظر تعداد تست‌های تصادفی NIST، با توجه به ۱۵

- [13] Tuncer, T., Avaroglu, E., "Random number generation with LFSR based stream cipher algorithms," 40th Int. Convention on Information and Communication Technology, Electronics and Microelectronics (MIPRO), 2017, pp. 171-175.
- [14] Kanade, S., Petrovska-Delacretaz, D., Dorizzi, B., "Generating and sharing biometrics based session keys for secure cryptographic applications, 4th IEEE Int. Conf. on Biometrics: Theory, Applications and Systems, 2010, pp. 1-7.
- [15] Majjed, I. A., Majeed, A. M., "Key generation based on facial biometrics," The 1st Int. Multi-Disciplinary Conf. Theme: Sustainable Development and Smart Planning, 2020, pp. 1-9.
- [16] Anees, A., Chen, Y.P., "Discriminative binary feature learning and quantization in biometric key generation", Pattern Recognition, Vol. 77, pp. 289-305, 2018.
- [17] Srinivas J., Mishra D., Mukhopadhyay S., Kumari S., "Provably secure biometric based authentication and key agreement protocol for wireless sensor networks," Journal of Ambient Intelligence and Humanized Computing, Vol. 9, No. 4, pp. 875-895. 2018.
- [18] Jo, J. G., Seo, J. W., Lee, H. W., "Biometric digital signature key generation and cryptography communication based on fingerprint," Int. Workshop on Frontiers in Algorithmics, 2007, pp. 38-49.
- [19] Barman, S., Samanta, D., Chattopadhyay, S., "Fingerprint-based crypto-biometric system for network security," EURASIP Journal on Information Security, Vol. 3, pp. 1-17. 2015.
- [20] Li, S., Zhang, X., Qian, Z., Feng, G., Ren, Y., "Key based artificial fingerprint generation for privacy protection," IEEE Transactions on Dependable and Secure Computing, Vol. 17, Issue 4, pp. 828- 840. 2020.
- [21] Wang, P., You, L., Hu, G., Hu, L., et. al., "Biometric key generation based on generated intervals and two-layer error correcting technique," Pattern Recognition, Vol. 111, pp. 1-36. 2020.
- [22] Sarkar, A., Singh, B. K., "Cryptographic key generation from cancelable fingerprint templates," Int. Conf. on Recent Advances in Information Technology, 2018, pp. 1-6.
- [23] You, L., Zhang, G., Zhang, F., "A fingerprint and threshold scheme-based key generation method," Int. Conf. on Computer Sciences and Convergence Information Technology, 2010, pp. 615- 619.
- [24] Abdullah, A. A., Khalaf, R. Z., Habib, H. B., "Modified BB84 quantum key distribution protocol using Legendre symbol," 2nd Scientific Conf. of Computer Sciences, 2019.
- [25] Artiles, J. A. P., Chaves, D. P. B., Pimentel, C., "Image encryption using block cipher and chaotic sequences,"

رمزنگاری برای هر فرد نیز تصادفی می‌باشد که یکی دیگر از مزایای مهم رویکرد پیشنهادی است.

۶- مراجع

- [1] Wu, W., Zhang, L., "LBlock: A lightweight block cipher," Int. Conf. on Applied Cryptography and Network Security, Vol 6715. pp. 327-344, 2011.
- [2] Sadkhan, S. B., Al-Shukur, B. K., Mattar, A. K., "Survey of biometric based key generation to enhance security of cryptosystems," Al-Sadeq Int. Conf. on Multidisciplinary in IT and Communication Science and Applications (AIC-MITCSA), 2016, pp. 1-6.
- [3] Iswari, N. M. S., "Key generation algorithm design combination of RSA and ElGamal algorithm," 8th Int. Conf. on Information Technology and Electrical Engineering (ICITEE), 2016, pp. 1-5,
- [4] Bennett, C., Brassard, G., "Quantum cryptography: public key distribution and coin tossing," IEEE Int. Conf. on Computers, 1984, pp. 175-179.
- [5] رشیدی، بهرام. "طراحی روشی برای تولید کلید رمزنگاری تصادفی بیومتریک بر اساس اثر انگشت"، مجله ماشین بینایی و پردازش تصویر، دوره ۹، شماره ۴، صفحات ۱ تا ۱۴، ۱۴۰۱.
- [6] رشیدی، بهرام، گودرزی، علی. "تولید کلید رمزنگاری تصادفی بیومتریک بر اساس ویژگی‌های منحصر به فرد اثر انگشت"، هوش محاسباتی در مهندسی برق، ۱۴۰۱.
- [7] Dwivedi, R., Dey, S., Sharma, M. A., Geol, A., "A fingerprint based crypto-biometric system for secure communication," Journal of Ambient Intelligence and Humanized Computing, Vol. 11, pp. 1495-1509, 2020.
- [8] Suresh, K., Rajarshi, P., Balasundaram, S. R., "Fingerprint based cryptographic key generation," Int. Conf. on Intelligent data communication technologies and internet of things, 2019, pp. 704-713.
- [9] Rukhin, A., Soto, J., Nechvatal, J., Smid, M., et. al., "A statistical test suite for random and pseudorandom number generators for cryptographic applications," National Institute of Standards and Technology (NIST), 2010.
- [10] Shankar, K., Elhoseny, M., Chelvi, E. D., Lakshmanaprabu, S. K., et. al., "An efficient optimal key based chaos function for medical image security," IEEE Access, vol. 6, pp. 77145-77154, 2018.
- [11] Ogras, H., Turk, M., "A secure chaos-based image cryptosystem with an improved sine key generator," American Journal of Signal Processing, Vol. 6, No. 3, pp. 67-76, 2016.
- [12] Yuliana, M., Wirawan, Suwadi, "A simple secret key generation by using a combination of pre-processing method with a multilevel quantization," Entropy, Vol. 21, pp. 1-25. 2019.



محمدرضا روزبهنانی مدرک کارشناسی خود را در مهندسی برق از دانشگاه آیت الله العظمی بروجردی (ره) در سال ۱۳۹۸ دریافت کرد. ایشان هم‌اکنون دانشجوی مهندسی برق، الکترونیک-دیجیتال دانشگاه صنعتی امیرکبیر است. زمینه‌های تحقیقاتی ایشان شامل پردازش تصویر، یادگیری ماشین و رمزنگاری است.



ساناز سیدین مدرک کارشناسی و کارشناسی ارشد خود را در مهندسی برق، الکترونیک به ترتیب از دانشگاه‌های صنعتی امیرکبیر و علم و صنعت ایران در سالهای ۱۳۸۰ و ۱۳۸۴ دریافت کرد. او مدرک دکترای خود در مهندسی برق، الکترونیک را در سال ۱۳۸۹ در زمینه تخصصی پردازش مقاوم گفتار از دانشگاه صنعتی امیرکبیر اخذ نمود. ایشان هم‌اکنون استادیار دانشکده مهندسی برق دانشگاه صنعتی امیرکبیر و همچنین عضو ارشد انجمن IEEE می‌باشند. زمینه‌های تحقیقاتی ایشان شامل یادگیری ماشین و هوش مصنوعی، پردازش سیگنال (صوت، تصویر، سیگنال‌های بیولوژیکی)، حسگری فشرده و کدینگ تنک و جداسازی منابع است.



بهرام رشیدی مدرک کارشناسی مهندسی برق خود را در سال ۱۳۸۸ از دانشگاه لرستان و مدرک کارشناسی ارشد و دکتری خود را به ترتیب در سال‌های ۱۳۹۰ و ۱۳۹۵ از دانشگاه تبریز و دانشگاه صنعتی اصفهان اخذ کرد است. ایشان در حال حاضر استادیار گروه مهندسی برق دانشگاه آیت الله بروجردی (ره) است. علایق تحقیقاتی او شامل پیاده سازی سخت افزار برای محاسبات میدان های محدود، پردازش تصویر، سخت افزار رمزنگاری، اینترنت اشیا (IoT)، رمزهای بلوکی و مدارهای VLSI برای سیستم‌های رمزنگاری منحنی بیضی است.

Signal Processing: Image Communication, Volume 79, pp. 24-31, 2019.

- [26] Rajesh, S., Paul, V., Menon, V. G., Khosravi, M. R., "A secure and efficient lightweight symmetric encryption scheme for transfer of text files between embedded IoT devices," *Symmetry*, Vol. 11, Issue 2, 2019.
- [27] Abraham, J., Kwan, P., Gao, J., "Fingerprint matching using a hybrid shape and orientation descriptor," *State of the Art in Biometrics*, Intech Publisher, pp. 25-56, 2011.
- [28] The Fingerprint Verification Competition. The Biometric System Laboratory, University of Bologna, Bologna, Italy. Accessed: Jan. 2016.
- [29] Bookstein, A., Kulyukin, V. A., Raita, T., "Generalized hamming distance," *Information Retrieval*, Vol. 5, pp. 353-375, 2002.